

บทที่ 2

วรรณกรรมและผลงานที่เกี่ยวข้อง

2.1 บทนำ

วิทยานิพนธ์ฉบับนี้ เป็นการเสนอวิธีการวิเคราะห์ความเสียหาย ที่เกิดขึ้นในหัวอ่านข้อมูลชนิดที่เอ็ม อาร์ (TMR) โดยทำการวิเคราะห์ถึงความเสียหายในระดับหัวอ่านข้อมูล รวมไปถึง ความเสียหายที่เกิดขึ้นใน ระดับโครงสร้างอิเล็กทรอนิกส์ของแผ่นฟิล์มบางแม่เหล็กชนิด TMR หรือ แผ่นฟิล์มบาง TMR ดังนั้นเพื่อให้ เกิดความเข้าใจถึงเนื้อหาทั้งหมดที่จะถูกกล่าวถึงในวิทยานิพนธ์ฉบับนี้ ในบทนี้จะอธิบายถึงความรู้พื้นฐาน รวม ไปถึงวรรณกรรมต่างๆ ที่เกี่ยวข้อง โดยเริ่มจากการอธิบายถึง โครงสร้างอิเล็กทรอนิกส์ การขยายอิเล็กตรอน ซึ่งเป็นความรู้พื้นฐาน ที่จะได้นำไปใช้สำหรับอธิบาย การเกิดปรากฏการณ์ TMR และความเสียหายที่เกิดขึ้นใน แผ่นฟิล์มบางแม่เหล็ก TMR หลังจากนั้น จะอธิบายถึงโครงสร้างของหัวอ่านข้อมูล ผลของการคายประจุไฟฟ้า สถิตที่มีต่อหัวอ่าน ผลของการต่อขนาดที่มีต่อหัวอ่าน และท้ายสุด จะกล่าวถึง ความไม่เสถียรของการอ่านข้อมูล ที่เกิดจากการคายประจุไฟฟ้าสถิตย์

2.2 โครงสร้างอิเล็กทรอนิกส์ (Electronics Structure)

การอธิบายถึงคุณสมบัติของวัสดุ หรืออุปกรณ์ที่มีขนาดเล็กมาก ๆ ในย่าน 1-1000 Angstrom จำเป็น ที่จะต้องอธิบายโดยอาศัยหลักเกณฑ์ทั่วไปของศาสตร์คือ ความเป็นจริงที่ว่า วัสดุต่างๆ ประกอบขึ้นจากการการจับตัวของกลุ่มอะตอมโดยอาศัยแรงทางไฟฟ้า ดังนั้นคุณสมบัติต่างๆ ของวัสดุนั้นๆ เป็นผลที่เกิดจากอัตราการห่วงโซ่ที่เกิดต่อเนื่องกัน โดยปกติแล้ววิธีที่ใช้ในการศึกษาถึง คุณสมบัติของอิเล็กตรอนภายในวัสดุต่างๆ จะสามารถทำได้โดยอาศัยระเบียบการสมการพื้นฐาน (First Principle) ซึ่งเป็นหลักการที่ค่อนข้างละเอียด เนื่องจาก การคำนวณโดยอาศัยสมการพื้นฐานนั้น ไม่จำเป็นต้องใช้ ตัวแปรอื่นเข้ามาเกี่ยวข้อง แต่อาศัยเพียงการแก้สมการคลื่นสำหรับการเรียงตัวของกลุ่มอะตอมในวัสดุนั้นๆ เท่านั้น การคำนวณโดยอาศัย สมการพื้นฐานมีได้หลายวิธี แต่ที่นิยมมากที่สุด คือ การคำนวณโดยอาศัย พัฒนา ความหนาแน่น (Density of State, DOS) หรือ ดอส (DOS) ซึ่งเป็นการคำนวณหา โครงสร้างระดับพลังงาน และสถานะของอิเล็กตรอน หรือ ที่เรียกว่า โครงสร้างอิเล็กทรอนิกส์ ภายในวัสดุนั้นๆ

โครงสร้างอิเล็กทรอนิกส์ เป็นการอธิบายถึงระดับพลังงานที่อิเล็กตรอนภายในวัสดุ ที่สามารถจัดเรียงตัวกันของ อะตอมในแบบต่างๆ โดยการอธิบายถึงโครงสร้างอิเล็กทรอนิกส์ของวัสดุ ในโครงสร้างชนิดต่างๆ ทั้งที่เป็น แบบ ผลึก ก้อน ห้อนโน หรือฟิล์มบางแม่เหล็ก สามารถทำได้โดยอาศัย โครงสร้างแบบ (Band Structure) ซึ่ง โครงสร้างแบบนี้ ถูกสร้างมาจาก ทฤษฎีของบล็อก (Bloch's Theorem) ดังนั้น เพื่อให้เกิดความเข้าใจที่ถูกต้อง เกี่ยวกับ โครงสร้างแบบ ในส่วนต่อจะไปจะทำการอธิบายถึง ทฤษฎีของบล็อก โดยคร่าวๆ

สำหรับโครงสร้างในระดับอะตอมนั้น ของอิเล็กตรอน หรือที่เรียกว่า ฟังก์ชันคลื่น (Wave Function) เช่นเดียวกันกับ ทฤษฎีของบล็อก ซึ่งกล่าวว่า ในระบบที่พลังงานศักย์มีลักษณะเป็นค่า ฟังก์ชันคลื่นของระบบ จะสามารถถูกเขียนให้อยู่ในรูปของ [11]

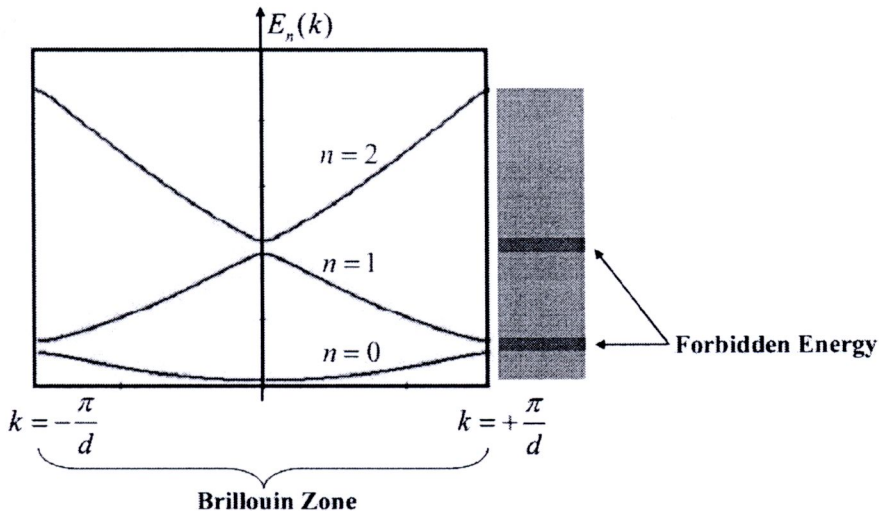
$$\psi_n(x; k) = e^{ikx} u_n(x; k) \quad (2.1)$$

โดยที่ $\psi_n(x; k)$ คือ พังชั่นคลื่นของตัวแปร x ที่ขึ้นอยู่กับค่า k
 $u_n(x; k)$ คือ พังชั่นค่าของตัวแปร x ที่ขึ้นอยู่กับค่า k

จากสมการที่ (2.1) จะสามารถสังเกตได้ว่า ทางด้านขวาของสมการที่ (2.1) นั้น ประกอบด้วย สอง องค์ประกอบ คือ $u_n(x; k)$ ซึ่งเป็นการบวกถึง ระดับพลังงานและการกระจายตัวของอนุภาค (ในที่นี้หมายถึง อิเล็กตรอน) ที่ถูกกำหนดโดย ดัชนี n ซึ่งเป็นเลขจำนวนเต็ม และองค์ประกอบที่สองคือ e^{ikx} ซึ่งถูกกำหนด โดยดัชนี k ซึ่งเป็นตัวเลขจำนวนจริง ดัชนี k นี้ เป็นการบวกถึง โมเมนต์เฉลี่ยของอนุภาคที่อยู่ใน พังก์ชั่นคลื่น $\psi_n(x; k)$ หรืออาจจะกล่าวได้ว่า ดัชนี k เป็น ดัชนีที่ใช้บ่งบอกถึงทิศทางการเคลื่อนที่ของอิเล็กตรอน ใน พังก์ชั่นคลื่นนั้น ๆ ดังนั้น พลังงานของระบบที่สนใจอยู่นั้น จะขึ้นอยู่กับ n และ k ตามสมการที่ (2.2)

$$E = E_n(k) \quad (2.2)$$

เมื่อทำการสร้างแผนภาพ ที่แสดงความสัมพันธ์ระหว่าง ระดับพลังงาน $E_n(k)$ และ ดัชนี k จะได้ แผนภาพที่เรียกว่า โครงสร้างแถบ (Band Structure) ตามที่แสดงในภาพที่ 1



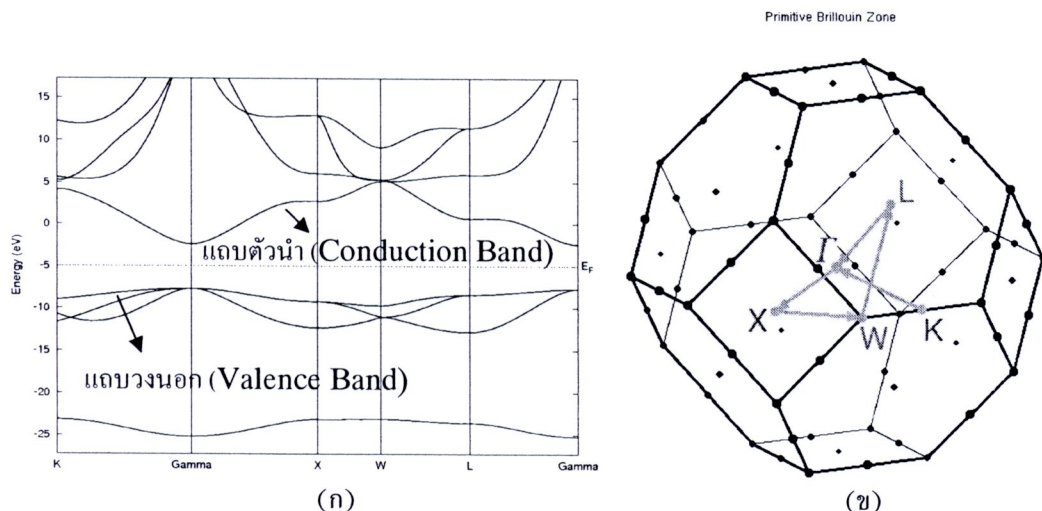
ภาพที่ 2.1 โครงสร้างแถบ ของระบบ Kronig-Penny ซึ่งเป็นระบบขนาด 1 มิติ [11]

จากภาพที่ 2.1 ค่า n ในแนวแกนตั้ง เป็นการบวกถึง ชั้นของระดับพลังงานของที่ขึ้นอยู่กับทิศทาง k ช่วงว่างของระดับพลังงานที่เกิดขึ้นจะถูกเรียกว่า พลังงาน Forbidden และเรียกช่วงว่างที่เกิดขึ้นว่า ช่องว่าง พลังงาน (Energy Gap) [11] เนื่องจากระดับพลังงานที่เกิดขึ้นถูกกำหนดโดย พังก์ชั่นค่าที่ขึ้นอยู่กับค่า k นั้น ทำให้สามารถแสดงความสัมพันธ์ระหว่างระดับพลังงานและค่าดัชนี k ได้ในช่วงของ $-\frac{\pi}{d} \leq k \leq \frac{\pi}{d}$ ซึ่งจะถูก เรียกว่า ขอบเขตBrillouin (Brillouin Zone) [11] สำหรับโครงสร้างแถบในระบบ 1 มิติ ส่วนต่อไปจะเป็นการ

พิจารณาถึงโครงสร้างແນບໃນระบบ 3 มิติ หรือโครงสร้างແນບຂອງຝລຶກ (Crystal) ທີ່ຈະໂຄຮສ້າງແນບທີ່ໃຊ້ໃນວິທຍາ
ນິພົບົດບັນນີ້ ຈະໜ່າຍຄື່ງໂຄຮສ້າງແນບໃນระบบ 3 มิติ ເທົ່ານັ້ນ

ການຄໍານວນທາຮະດັບພັບງານສໍາຫຽນໂຄຮສ້າງແນບຂອງຝລຶກ ທຳໄດ້ໂດຍອາຫັນທັກກັບການ
ຄໍານວນທາໂຄຮສ້າງແນບໃນระบบ 1 ມີຕີ ແຕ່ມີຄວາມແຕກຕ່າງກັນໃນເຮືອງຂອງ ດ້ວຍຕົ້ນທີ່ k ທີ່ຈະໃນໂຄຮສ້າງແນບຂອງ
ຝລຶກດ້ວຍຕົ້ນທີ່ k ຈະຖຸກພິຈາລາເປັນ ເວັກເຕືອນ (Vector) ຮູ່ ອີ່ ທີ່ສ້າງຢັ້ງທີ່ສໍາກັນ

ດ້ວຍຕົ້ນທີ່ k ເປັນຕົວທີ່ໃຊ້ກໍາທັນທີ່ສໍາກັນ ເວັກເຕືອນ ໃນກຳນອນເດືອນກັບການ ສໍາຫຽນໂຄຮສ້າງ
ແນບຂອງຝລຶກນີ້ ອີ່ເລັກຕຣອນຈະເຄື່ອນທີ່ໄປໃນຢັ້ງຕໍ່ແໜ່ງ ທີ່ຖຸກກໍາທັນໂດຍຈຸດຕ່າງໆ ໃນຝລຶກ ທີ່ຈະຈຸດແລ່ນີ້ ຈະ
ກໍາທັນທີ່ສໍາກັນການເຄື່ອນທີ່ຂອງອີ່ເລັກຕຣອນກາຍໃນຝລຶກ (ຕາມເງື່ອນໄຂຕ່າງໆ) ທີ່ຈະຖຸກກໍາທັນໂດຍຕົວແປ່ຕ່າງໆ
ຂອບເຂດທັງໝົດທີ່ອີ່ເລັກຕຣອນເຄື່ອນທີ່ໄດ້ໃນຝລຶກ ຈະຖຸກເຮັດວຽກ ຂອບເຂດ Brillouin ທີ່ 1 (First Brillouin Zone)
ຕາມຕົວຢ່າງທີ່ແສດງໃນກາພທີ່ 2.2



ກາພທີ່ 2.2 ໂຄຮສ້າງອີ່ເລັກຕຣອນິກສ້ອງ ສາຮໜູ

(ກ) ໂຄຮສ້າງແນບຂອງ ສາຮໜູ (Magnesium Oxide, MgO) [12]

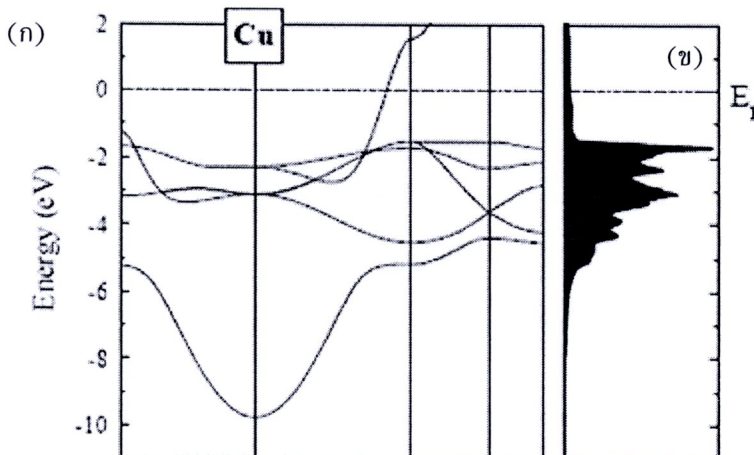
(ຂ) ຂອບເຂດ Brillouin ທີ່ 1 ສໍາຫຽນໂຄຮສ້າງແນບ ໃນກາພທີ່ 2.2 (ກ) [12]

ກາພທີ່ 2.2 ແສດງຄື່ງໂຄຮສ້າງແນບ ແລະຕໍ່ແໜ່ງທີ່ອີ່ເລັກຕຣອນເຄື່ອນທີ່ໃນຂອບເຂດ Brillouin ທີ່ 1 ຂອງ
ສາຮໜູ ໂດຍທີ່ກາພ 2.2(ກ) ແສດງຄື່ງ ໂຄຮສ້າງແນບຂອງສາຮໜູ ທີ່ຈະແນບພັບງານແຕ່ລະແນບຂອງສາຮໜູ ເກີດຈາກ
ການທີ່ອີ່ເລັກຕຣອນເຄື່ອນທີ່ໄປຢັ້ງຈຸດຕ່າງໆ ກາຍໃນ ຂອບເຂດ Brillouin ທີ່ 1 ທີ່ຖຸກກໍາທັນໄວ້ຕາມທີ່ແສດງໃນກາພທີ່
2.2 (ຂ) ໂດຍທີ່ມີຂາດຮະດັບພັບງານເຟ່ອຣີ (Fermi energy, E_F) ປະມານ 5 eV ເມື່ອພິຈາລາທີ່ຈຸດ ແກ່ມາ
ຈະພວກວ່າແນບວັນອອກ (Valence Band) ມີຮະດັບພັບງານປະມານ -8 eV ໃນຂະໜາດທີ່ ແນດຕ້ວຈະຖຸກພົບທີ່ຮະດັບ
ພັບງານປະມານ 2.5 eV ໂດຍຫົວໄປແລ້ວ ໃນກາວົເຄຣະທີ່ນີ້ມີກາວົເຄຣະທີ່ສົ່ງຮະດັບຊັ້ນພັບງານທີ່ເກີດຂຶ້ນທີ່
ຕໍ່ແໜ່ງ ແກ່ນມໍ ທີ່ຈະເປັນຈຸດກົງກລາງຂອງຂອບເຂດ Brillouin ທີ່ 1 ຕາມທີ່ແສດງໃນກາພທີ່ 2.2 (ຂ)

ກຸລຸ່ມຂອງແນບກາຍໃນໂຄຮສ້າງແນບ ຈະຖຸກແບ່ງອອກເປັນສອງຊັ້ນໃໝ່ ຈຸດ້າຍກັນ ດືອ ຊັ້ນດ້ານນອກ ແລະ ຊັ້ນ
ຕ້ວນ້າ ທີ່ຈະຖຸກແບ່ງອອກໂດຍ ຮະດັບພັບງານເຟ່ອຣີ (Fermi Energy) ທີ່ຈະແສດງຄື່ງຮະດັບພັບງານຕໍ່ສູດທີ່
ອີ່ເລັກຕຣອນສາມາດອອຍໄດ້ ຊັ້ນພັບງານທີ່ມີແນບພັບງານຕໍ່ກ່າວ່າພັບງານເຟ່ອຣີ ຈະຖຸກເຮັດວຽກ ຊັ້ນດ້ານນອກ ທີ່ຈະເປັນ

ชั้นที่มีอิเล็กตรอนบรรจุอยู่ และ เรียกແບแรกที่มีระดับพลังงานต่ำกว่าพลังงานเฟอร์มิว่า ແບด้านนอก (Valence Band) และในทางตรงข้าม ชั้นพลังงานที่มีແບพลังงานสูงกว่า พลังงานเฟอร์มี จะถูกเรียกว่า ชั้นตัวนำ (Conduction Band) ซึ่งว่างระหว่างແບวงนอกและແບด้านนำ จะถูกเรียกว่าเป็น ແບວ່າງ ซึ่งในกรณีของภาพที่ 2.2 นั้น เมื่อพิจารณาที่ จุดแกมม่า จะพบว่า มีແບວ່າງค่อนข้างกว้างทั้งนี้เนื่องจากสารอนุมีคุณสมบัติ เป็นฉนวนนั้นเอง

โครงสร้างແບที่เกิดจากโครงสร้างของอะตอมที่มีความไม่ซับซ้อนมาก ดังเช่นในกรณีของโครงสร้าง ແບของสารอนุ丹ันท์แสดงในภาพที่ 2.2 นั้น จะสามารถทำให้เข้าใจถึงการเปลี่ยนแปลงระดับพลังงานได้ โดยง่าย แต่ในทางตรงข้ามโครงสร้างແບที่เกิดจาก อะตอมหลาย ๆ อะตอมมาร่วมตัวกัน ปรากฏเป็นແບหลาย ແບจำนวนมากซึ่งแยกต่อวิเคราะห์ ดังนั้นการวิเคราะห์โครงสร้างอิเล็กทรอนิกส์โดยอาศัย ความหนาแน่นของ สสถานะ (Density of State: DOS) จึงค่อนข้างที่จะสะดวกกว่า ซึ่ง DOS เป็นการบอกถึง จำนวนสถานะที่อนุภาค นั้น ๆ สามารถเกิดขึ้นในในแต่ละระดับพลังงาน [11] ตามที่แสดงในภาพที่ 2.3



ภาพที่ 2.3 โครงสร้างอิเล็กทรอนิกส์ของทองแดง

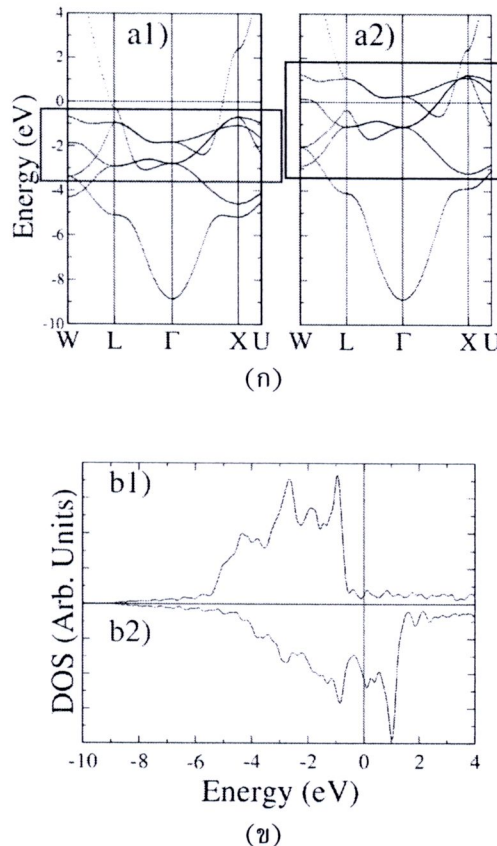
(ก) โครงสร้างແບของทองแดง [13]

(ข) ความหนาแน่นสถานะของ ทองแดง

DOS มีความสัมพันธ์โดยตรงกับจำนวนของอิเล็กตรอนที่อยู่ในสถานะนั้น ๆ โดยที่ ถ้า DOS มีค่ามาก จะสามารถบ่งชี้ได้ว่า ที่สถานะนั้นมีโอกาสที่จะพบอิเล็กตรอนจำนวนมาก นอกจากนี้เครื่องหมายของ DOS ยังใช้ บอกถึง สถานะการสปินของอิเล็กตรอน หรือที่เรียกว่า ฯลฯ สปิน โดยที่ ถ้า DOS มีค่ามากกว่าศูนย์ จะหมายถึง DOS รวมไปถึงจำนวนของสปินในทิศชี้ขึ้น และ ถ้า DOS มีค่าน้อยกว่าศูนย์ จะหมายถึง DOS รวมไปถึงจำนวน ของสปินในทิศชี้ลง

โดยปกติแล้ว DOS ของตัวนำ หรือ ฉนวนนั้น จะมีความสมมาตรกัน ซึ่งหมายความว่า จำนวนของ สปินอิเล็กตรอนในทิศชี้ขึ้น มีจำนวนเท่ากับ จำนวนของสปินอิเล็กตรอนในทิศชี้ลง ดังเช่น กรณีของทองแดงที่ แสดงในภาพที่ 2.3 เป็นต้น แต่ในกรณีสารแม่เหล็กนั้น จะมีความแตกต่างกัน กล่าวคือ DOS ของสารแม่เหล็ก ในด้านบน และ ด้านลับ จะไม่สมมาตร ซึ่งหมายความว่า จำนวนของสปินอิเล็กตรอนในทิศชี้ขึ้น มีขนาดไม่ เท่ากับ จำนวนของอิเล็กตรอนสปินในทิศชี้ลง หรือที่เรียกว่า การโพลาไรซ์ของสปิน (Spin Polarization) [13]

ปัจจัยสำคัญอีกข้อหนึ่ง คือ ระดับพลังงาน และ DOS ของวัสดุแม่เหล็กจะถูกกำหนดโดย ทิศทางของ ความเป็นแม่เหล็กหรือ แมกนีไตเซชัน (Magnetization) ถ้า แมกนีไตเซชัน ซึ่งในทิศขึ้น จะเป็นการบวกกับ DOS หรือ จำนวนอิเล็กตรอนสpinขึ้น มีจำนวนมากกว่าจำนวนอิเล็กตรอนสpinลง และในทางตรงข้าม ถ้า สภาพความเป็นแม่เหล็กมีทิศทางซี้ลง เป็นการบ่นกับ DOS หรือ จำนวนอิเล็กตรอนสpinลง นั้น มีจำนวน มากกว่า จำนวนอิเล็กตรอนสpinขึ้น



ภาพที่ 2.4 โครงสร้างอิเล็กทรอนิกส์ของวัสดุcobolt (Cobalt)

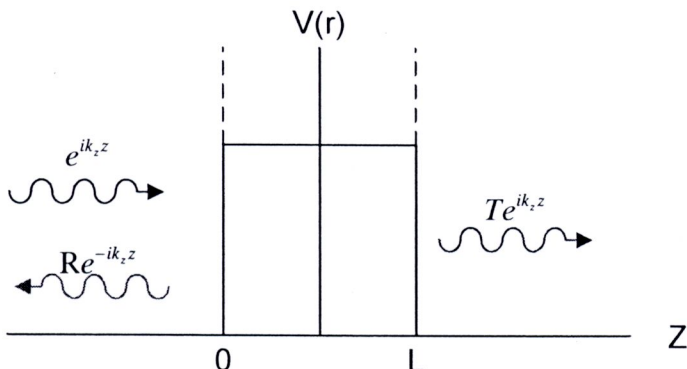
- (ก) แบบพลังงานของวัสดุcobolt ด้านซ้ายจะเป็น โครงสร้างแบบสำหรับสpinขึ้น ซึ่งนิยม เรียกว่า ย่านหลัก ส่วนด้านขวา จะเป็นโครงสร้างของ สpinลง หรือที่เรียกว่า ย่านรอง จะสามารถสังเกตเห็นว่า แบบพลังงานของย่านรองมีการเลื่อนขึ้น ซึ่งพลังงานที่เลื่อนไปนี้ จะเรียกว่า ค่าคงที่การแยก (Splitting Constant) [13] ซึ่งเป็นคุณสมบัติเฉพาะของวัสดุ ชนิดนั้นๆ
- (ข) ความหนาแน่นสถานะ ของโครงสร้างแบบจากภาพ (ก)

คุณสมบัติ การสpinโพลาไลซ์เชชันของวัสดุแม่เหล็กนี้ มีความสำคัญมาก เนื่องจาก เมื่อนำเอา สาร แม่เหล็กสองชั้น ที่มีทิศทางของแมกนีไตเซชันซึ่งในทิศทางเดียวกัน หรือตรงข้ามกัน มาประกอบเข้ากับ ฉนวน จะทำให้สpinอิเล็กตรอน ของสารแม่เหล็กที่อยู่อีกด้านหนึ่ง ไหลลอดผ่านฉนวน ไปยังสารแม่เหล็กที่อยู่ใน ด้านตรงข้าม ทำให้เกิดเป็นความต้านทานแม่เหล็ก ประเก็ตโลดผ่าน (Tunneling Magnetoresistance : TMR)

ซึ่งรายละเอียด เกี่ยวกับการเกิดปรากฏการณ์ TMR นี้จะมีความเกี่ยวข้องกับ การขนย้ายอิเล็กตรอน (Electronics Transport) ดังนั้นก่อนที่จะอธิบายถึงการเกิดปรากฏการณ์ TMR ซึ่งจะถูกอธิบายในหัวข้อที่ 2.4 ได้นั้น จำเป็นที่จะต้องเข้าใจถึง ทฤษฎีเบื้องต้นของการขนย้ายอิเล็กตรอน ซึ่งจะกล่าวถึงในหัวข้อต่อไป

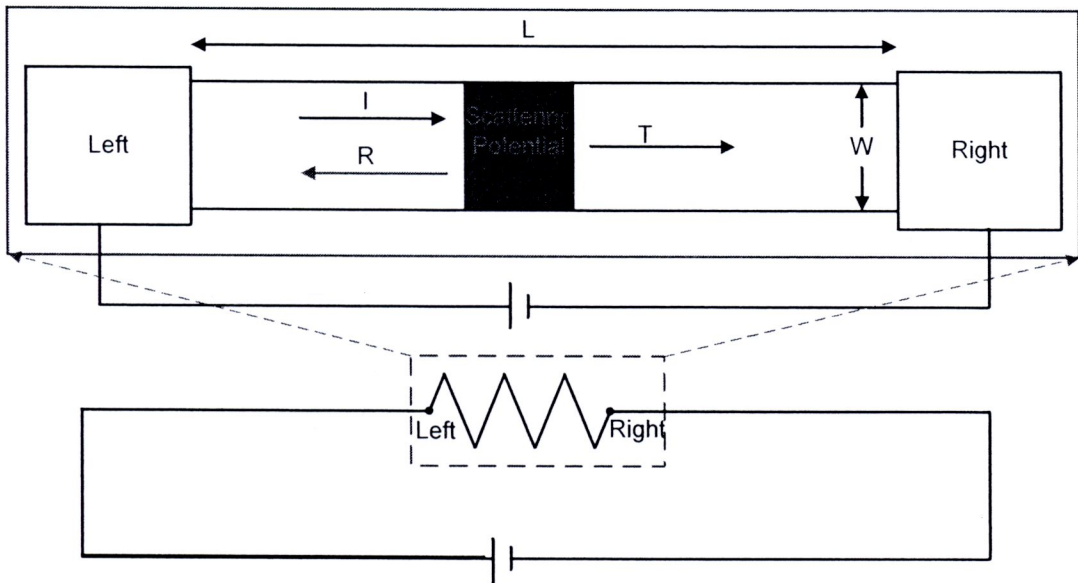
2.3 ทฤษฎีการขนย้ายอิเล็กตรอนสpin

อิเล็กตรอนที่พุ่งเข้าไปในบริเวณที่มีกำแพงศักย์ (Potential wall) จะเกิดปรากฏการณ์ การกระเจิงของ อิเล็กตรอน(Scattering) กล่าวคือ เมื่อกลุ่มอิเล็กตรอนกลุ่มหนึ่งพุ่งเข้า (Incident Electron) ไปประทับบนบริเวณ ที่มีกำแพงศักย์ ($V(r)$) จะมีกลุ่มอิเล็กตรอนบางตัวสะท้อนกลับมา เรียกว่าอิเล็กตรอนสะท้อนกลับ (Reflection Electron) และเรียกกลุ่มอิเล็กตรอนที่สามารถผ่านไปได้ว่า อิเล็กตรอนส่งผ่าน (Transmission Electron) ดัง แสดงในภาพที่ 2.5 แนวคิดพื้นฐานเกี่ยวกับปรากฏการณ์การกระเจิงนี้ ถูกนำมาใช้อธิบายการขนย้าย อิเล็กตรอน ในอุปกรณ์ที่มีมิติต่างๆ เช่นของ Phase Coherent (100-200 อั้งสตรอม)



ภาพที่ 2.5 แนวคิดพื้นฐานของการเกิด ปรากฏการณ์การกระเจิงของอิเล็กตรอน อิเล็กตรอนตกกระทบ ถูกแทน ด้วย $e^{ik_z z}$ อิเล็กตรอนส่งผ่านถูกแทนด้วย $Te^{ik_z z}$ และ อิเล็กตรอนสะท้อนกลับ ถูกแทนด้วย $Re^{ik_z z}$ [11]

ภาพที่ 2.6 เป็นแบบจำลองของอุปกรณ์ ที่ประกอบไปด้วย ข้ออิเล็กโทรด (Electrode) ส่องข้า คือ ข้า อิเล็กโทรดด้านซ้ายและ ข้าอิเล็กโทรดด้านขวา ที่ถูกต่อเข้ากับความด้านทาน ที่มีความยาว L และ ความกว้าง W โดยที่ อิเล็กโทรดทั้งด้านซ้ายและด้านขวา มีอิเล็กตรอนสะสมอยู่ เมื่อมีการจ่ายแรงดัน จะมีผลทำให้ ตักษ ทางเคมีของที่สะสมในอิเล็กโทรดด้านซ้าย (μ_L) มีขนาดสูงกว่า ตักษทางเคมีที่สะสมอยู่ในอิเล็กโทรดด้านขวา (μ_R) จึงมีผลให้ กลุ่มอิเล็กตรอนที่ถูกสะสมอยู่ในอิเล็กโทรดด้านซ้าย เคลื่อนที่เข้าไปใน ย่านการกระเจิง เมื่ออิเล็กตรอนพุ่งเข้าไปยังบริเวณที่มีตักษการกระเจิง จะมีเพียงอิเล็กตรอนบางตัวที่มีโอกาสจะหล่อผ่านไปยัง อิเล็กโทรดด้านขวาได้ ความสัมพันธ์ระหว่างกระแส และ โอกาสที่อิเล็กตรอนจะผ่านไปได้ สามารถอธิบายโดย อาศัยสูตรของ Landauer-Büttiker [14] ตามที่แสดงในสมการที่ (2.3)



ภาพที่ 2.6 ขบวนการขยับอิเล็กตรอนที่เกิดขึ้นในความต้านทาน โดยที่อิเล็กตรอนจากชั้วด้านซ้าย (Left Electrode) เคลื่อนที่ไปยัง ชั้วด้านขวา (Right Electrode) ผ่านย่านการกระเจิง ที่มีความยาว L และ มีความกว้าง W โดยที่ขนาดของ L และ W อยู่ในย่าน Phase Coherent บริเวณเข้มแสดง ศักย์การกระเจิง ซึ่งเป็นบริเวณที่อิเล็กตรอนตกกระทบ (I) เกิด ความน่าจะเป็นที่จะมีอิเล็กตรอน เคลื่อนที่ผ่าน (T) และ ความน่าจะเป็นที่อิเล็กตรอนจะถูกสะท้อนกลับ(R) ด้านล่าง ความ ต้านทานที่ถูกต่อเข้ากับแรงจ่ายแรงดัน

$$I_{LR} = \frac{e}{h} T (\mu_L - \mu_R) \quad (2.3)$$

โดยที่ e คือ จำนวนอิเล็กตรอน

h คือ ค่าคงที่ของพลังค์

T คือ ความน่าจะเป็นที่จะมีอิเล็กตรอนเคลื่อนที่ผ่านไปได้

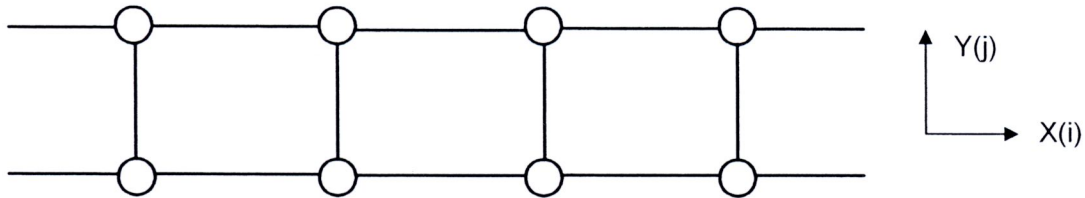
จากสมการที่ (2.3) นี้ ทำให้ได้ ความสัมพันธ์ระหว่างสภาพการนำไฟฟ้าและโอกาสที่อิเล็กตรอนจะ เคลื่อนผ่านไปได้ ตามสมการที่ (2.4)

$$G = \frac{2e^2}{h} T \quad (2.4)$$

โดยที่ G คือ สภาพการนำไฟฟ้า

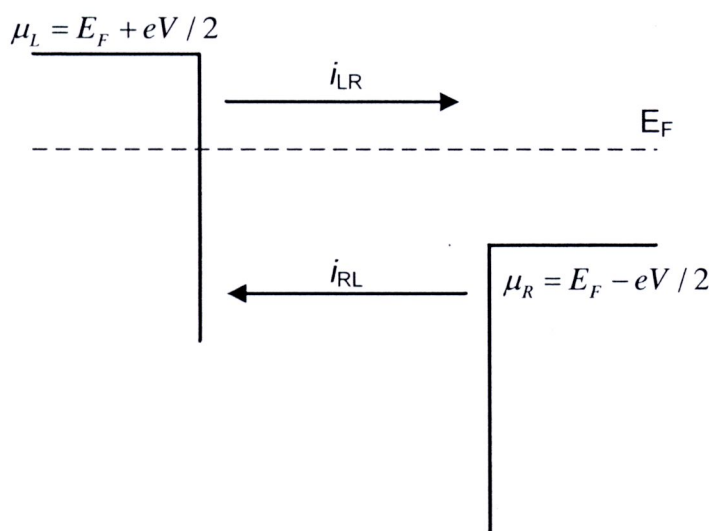
สมการที่ 2.4 นี้เป็นสภาพการนำไฟฟ้า ในโครงสร้างแบบ 1 มิติ ซึ่งถ้าพิจารณา การขยับอิเล็ก ตรอนสำหรับระบบโครงสร้างสองมิติ ตามที่แสดงในภาพที่ 2.7 นั้น พบร่วมกันว่าโอกาสที่อิเล็กตรอนจะเคลื่อนที่ผ่าน ไปได้ สามารถถูกพบร่วมกันได้ทั้งในแนวแกน x และ แนวแกน y ดังนั้นความสัมพันธ์ระหว่างสภาพความนำใน โครงสร้างสองมิติ และความน่าจะเป็นที่อิเล็กตรอนจะเคลื่อนผ่านไปได้ จะมีความสัมพันธ์ตามสมการที่ (2.5)

$$G = \frac{2e^2}{h} \sum_{ij} T_{ij} \quad (2.5)$$



ภาพที่ 2.7 โครงสร้างของผลึกไฮโดรเจน ในระบบสองมิติ [13]

จากสมการที่ (2.3) ถึง (2.5) จะพบว่า ขนาดของกระแสรวมไปถึงสภาพการนำไฟฟ้าจะขึ้นอยู่กับโอกาสที่อิเล็กตรอนจะเคลื่อนที่ผ่านไปได้ ซึ่งต่อไปนี้จะเรียกโอกาสที่เล็กtronเคลื่อนที่ผ่านไปได้นี้ว่า ค่าสัมประสิทธิ์การส่งผ่าน (Transmission Coefficient) เมื่อพิจารณาโครงสร้างอิเล็กทรอนิกส์แล้วพบว่าขนาดสัมประสิทธิ์การส่งผ่านนั้นขึ้นอยู่กับระดับชั้นพลังงาน ทำให้ค่าสัมประสิทธิ์การส่งผ่านในเชิงระดับชั้นพลังงานได้เป็นสามารถเขียนได้ดังนี้ $T=T(E)$



ภาพที่ 2.8 การขยายอิเล็กตรอนเมื่อมีการจ่ายแรงดันขนาด V โวลต์ คร่อมระหว่างอิเล็กโทรดด้านซ้ายและอิเล็กโทรดด้านขวา โดยที่ให้อิเล็กโทรดด้านซ้ายเป็นขั้วบวกและอิเล็กโทรดด้านขวาเป็นขั้วลบ [15]

ต่อมา จะทำการอธิบายถึง ขบวนการขยายอิเล็กตรอนภายในตัวอิเล็กโทรดทางด้านซ้ายมีขนาดเพิ่มขึ้น $eV/2$ หรือ $\mu_L = E_F + eV/2$ ในทางตรงข้ามภาพที่ 2.8 เมื่อมีการจ่ายแรงดันขนาด V โวลต์ คร่อมระหว่างอิเล็กโทรดด้านซ้ายและอิเล็กโทรดด้านขวา มีผลทำให้ตัวอิเล็กโทรดทางด้านซ้ายมีขนาดเพิ่มขึ้น $eV/2$ หรือ $\mu_R = E_F - eV/2$

ศักย์ทางเคมีของอิเล็กโทรอตทางด้านขวาจะลง $eV/2$ หรือ $\mu_R = E_F - eV/2$ ซึ่งถ้าพิจารณาที่ระดับชั้นพลังงาน E ได้ๆ แล้ว กระแสหรือ อิเล็กตรอนฟลักซ์ ที่ออกจากอิเล็กโทรอตด้านซ้าย (ขวา) ไปยังอิเล็กโทรอตด้านขวา (ซ้าย) สามารถแสดงในรูปของความสัมพันธ์ระหว่าง อิเล็กตรอนฟลักซ์และสัมประสิทธิ์การส่งผ่าน ตามสูตรของ Ladduer – buttiker ได้ตามสมการที่ (2.6) และ (2.7) ตามลำดับ

$$i_{LR} = \frac{2e}{h} \left[\sum_{ij} T_{ij}(E) \right] F_L(E) \quad (2.6)$$

$$i_{RL} = \frac{2e}{h} \left[\sum_{ij} T_{ij}'(E) \right] F_R(E) \quad (2.7)$$

โดยที่ $\sum_{ij} T_{ij}(E)$ คือค่าสัมประสิทธิ์การส่งผ่านรวม ที่ระดับพลังงาน E ของอิเล็กตรอนที่

เคลื่อนที่ จาก อิเล็กโทรอตด้านซ้ายไปยังอิเล็กโทรอตด้านขวา

$\sum_{ij} T_{ij}'(E)$ คือค่าสัมประสิทธิ์การส่งผ่านรวม ที่ระดับพลังงาน E ของอิเล็กตรอนที่

เคลื่อนที่ จาก อิเล็กโทรอตด้านขวาไปยังอิเล็กโทรอตด้านซ้าย

$F_{L,R}(E)$ คือ การกระจายพลังงานเฟอร์นิของอิเล็กโทรอตด้านซ้ายและด้านขวา ซึ่งคำนวณได้จาก สมการ (2.8)

$$F_{L,R}(E) = \frac{1}{1 + e^{(E - \mu_{L,R})/k_B T}} = \frac{1}{1 + e^{(E - E_F \mp eV/2)/k_B T}} \quad (2.8)$$

โดยที่ k_B คือ ค่าคงที่ Boltzman

T คือ อุณหภูมิ

ขนาดของฟลักซ์อิเล็กตรอนทั้งหมด ที่ระดับพลังงาน E จะมีขนาดเท่ากับ $i_{LR} - i_{RL}$

$$i(E) = \frac{2e}{h} \left[\sum_{ij} T_{ij}(E) F_L(E) - \sum_{ij} T_{ij}'(E) F_R(E) \right] \quad (2.9)$$

และสุดท้ายกระแสที่ออกจากอิเล็กโทรอตด้านซ้ายไปยังอิเล็กโทรอตด้านขวา สามารถคำนวณได้จากการอินทริเกรท $i(E)$ ดังสมการที่ (2.9) และเนื่องจากระบบที่พิจารณาอยู่นี้ มีความสมมาตรกันกล่าวคือ ไม่มีผลของสนามแม่เหล็กภายนอกมาระบ่า ดังนั้น $T_{ij}(E) = T_{ij}'(E)$ จากเงื่อนไขเหล่านี้ ทำให้กระแสทั้งหมดสามารถแสดงได้ตามสมการที่ (2.10)

$$I = \frac{2e}{h} \int \sum_{ij} T_{ij}(E) [F_L(E) - F_R(E)] \quad (2.10)$$



วันที่ 24 S.A. 2555
เลขทะเบียน 203336
เลขเรียกหนังสือ

จากสมการที่ (2.10) นี้ ทำให้สามารถคำนวณ และหาความสัมพันธ์ ระหว่างกระแสและแรงดันของ อุปกรณ์ได นอกจากนี้ สิ่งสำคัญที่ได้จาก สมการนี้คือ ทำให้ทราบว่า ค่าสัมประสิทธิ์การส่งผ่านนั้นไม่ใช้ขึ้นอยู่กับ พลังงานเพียงอย่างเดียว แต่ขึ้นอยู่กับระดับพลังงานและแรงดัน เช่นในเชิงคณิตศาสตร์ได้เป็น $T(E,V)$ [15-16]

ค่าสัมประสิทธิ์การส่งผ่านนี้ ถือได้ว่าเป็นหัวใจหลักของการขยายนัยอิเล็กตรอน โดยที่ถ้าค่าสัมประสิทธิ์ การส่งผ่านมีค่าต่ำ จะทำให้ได้ขนาดของกระแสที่ต่ำ และในทางตรงข้ามค่าสัมประสิทธิ์การส่งผ่านมีค่าสูง จะทำ ให้ขนาดของกระแสที่มีค่าสูงตามไปด้วย

ที่กล่าวมาทั้งหมดเป็นการขยายนัยอิเล็กตรอนในระดับสองมิติ ในส่วนของการคำนวณและการอธิบาย ขนาดการขยายนัยอิเล็กตรอนในระบบสามมิตินั้น สามารถอธิบายโดยอาศัยการคำนวณ วิธี NEGF (Non Equilibrium Green Function) [13,15-21] ซึ่งยังคง ใช้วิธีการคำนวณกระแสตามสูตรของ Landauer-Buttiker โดยที่ ขนาดของค่า สัมประสิทธิ์การส่งผ่าน เมื่อคำนวณโดยอาศัยระเบียบวิธี NEGF จะมีค่าเป็น

$$T(E) = \text{Tr} \left[\Gamma_L G_M^\dagger \Gamma_R G_M \right] (E) \quad (2.11)$$

โดยที่ Tr คือ เมตริกซ์ทะแยง

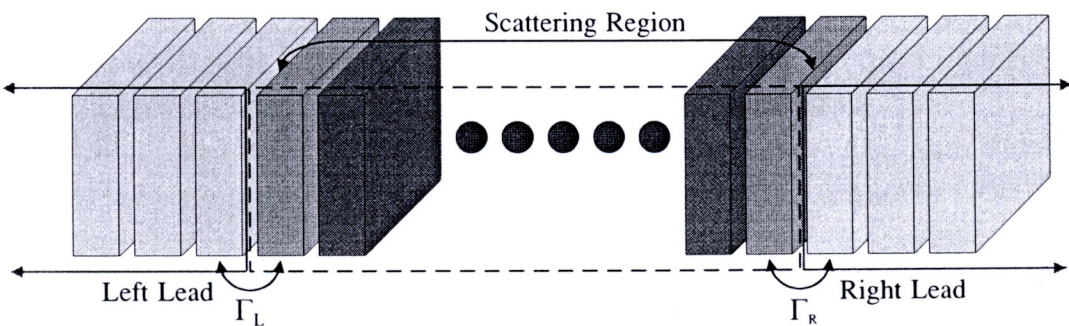
Γ_L คือ แรงคู่ควบจาก อิเล็กโทรดด้านซ้ายไปยังบริเวณที่เกิดการกระแส

Γ_R คือ แรงคู่ควบจาก อิเล็กโทรดด้านขวาไปยังบริเวณที่เกิดการกระแส

G_M^R คือ กรีนฟังก์ชันพื้นผิว ของ อิเล็กโทรดด้านซ้ายที่เชื่อมอยู่กับ บริเวณที่เกิดการ กระแส

กระแส
กระแส

G_M^L คือ กรีนฟังก์ชันพื้นผิว ของ อิเล็กโทรดด้านขวาที่เชื่อมอยู่กับ บริเวณที่เกิดการ กระแส



ภาพที่ 2.9 อุปกรณ์ในระดับอะตอม (Atomistic) ที่มีย่านการกระแส ข้าด้านซ้าย และข้าด้านขวา [22]

จากที่กล่าวมาข้างต้นนี้ ทำให้ สามารถอธิบายความหมายในทางปฏิบัติ ของค่าสัมประสิทธิ์ การส่งผ่าน เพิ่มเติมได้ว่า ค่าสัมประสิทธิ์การส่งผ่าน ที่ พลังงาน E ใดๆ จะสัมพันธ์กับ ขนาดความแรง ของ แรงคู่ควบ ที่กระทำจากอิเล็กโทรดด้านซ้ายไปยังอิเล็กโทรดด้านขวา ที่ระดับพลังงาน E นั้นๆ ได้ออกด้วย

2.4 แผ่นฟิล์มบางแม่เหล็ก TMR

โดยปกติแล้วกระแสทางไฟฟ้า จะไม่สามารถไหลผ่านชั้นจนวนได้ แต่ในกรณีที่ชั้นจนวนมีความบาง ในระดับหน่วย อังสตรอม ($^{\circ}\text{A}$, $1^{\circ}\text{A} = 10^{-10} \text{ m}$) กระแสจะสามารถ流ผ่านชั้นจนวนได้ โดยขบวนการขัน ถ่ายอิเล็กทรอนแบบทะลุ (Ballistic Transport) [23] ดังนั้นเมื่อ ชั้นจนวนถูกประคบโดยสารแม่เหล็ก จะมีผล ทำให้ กระแสที่เกิดจากขบวนการสpinโพลาไลเซชั่น ในตลอดผ่านชั้นจนวน และเกิดเป็นความต้านทานทาง แม่เหล็ก TMR โดยที่ขนาดของความต้านทานทางแม่เหล็กประเภท TMR จะขึ้นอยู่กับมุมของแมกนีติเดชชั่น ระหว่างสารแม่เหล็กทั้งสองด้าน

จากที่กล่าวมาข้างต้นนี้ เป็นความต้านทานทางแม่เหล็กชนิด TMR ที่เกิดจากแผ่นฟิล์มบางแม่เหล็กที่มี โครงสร้างแบบ แมกเนติกส์ทันเนลลิ่งชั้น (Magnetic Tunneling Junction: MTJ) ซึ่งเป็นโครงสร้างแบบ พื้นฐานและ นิยมใช้ในอุปกรณ์เก็บข้อมูล นอกจากนี้ ในช่วงหลายปีที่ผ่านมา ได้มีการค้นพบว่า TMR สามารถ พบรได้จากโครงสร้างแบบอื่น ๆ เช่น วัสดุที่มีคุณสมบัติเป็นตัวกรองการสpin (Spin Filter) [23] วัสดุประเภทกึ่ง ตัวนำ [14] และ วัสดุประเภทไฟฟ้าเฟอร์โร (Ferroelectric) [25]

2.4.1 แผ่นฟิล์มบางแม่เหล็ก TMR

แผ่นฟิล์มบางแม่เหล็ก TMR ได้ถูกค้นพบเป็นครั้งแรกในปี 1975 โดยที่สัดส่วน TMR (TMR Ratio) ที่ถูกวัดได้มีขนาดเพียง 20% ที่อุณหภูมิต่ำกว่าอุณหภูมิห้อง [26] แผ่นฟิล์มบางแม่เหล็ก TMR ที่อุณหภูมิห้องได้ถูกผลิต (Fabrication) เป็นผลสำเร็จ ในปี 1995 โดย Miyazaki [27] และ Moodera [18] โดยในช่วงเวลานั้นยังคงใช้ สาร Al-O เป็นชั้นจนวน ในปี 2001 Butter [29] ได้ทำการศึกษา โครงสร้างของ แผ่นฟิล์มบาง TMR ที่ผลิต MgO เป็นชั้นจนวน โดยอาศัยการคำนวณโครงสร้างอิเล็กทรอนิกส์ และทำให้ทราบว่า แผ่นฟิล์มบาง TMR ที่ใช้ผลิต MgO เป็นชั้นจนวนนั้น สามารถให้ขนาดของ TMR ได้สูง 1000% [29] ซึ่งแนวคิดจากการคำนวณดังกล่าว ได้ถูกนำไปทดลองใช้ในการปลูกแผ่นฟิล์มบางแม่เหล็ก TMR จนกระทั่งใน ปี 2004 S.S.P. Parkin [30] และ Yuasa [31] ได้ผลิต แผ่นฟิล์มบางแม่เหล็ก TMR โดยใช้ผลิต MgO เป็น ชั้นจนวน ได้เป็นผลสำเร็จ และ ในปี 2005 [32] แผ่นฟิล์ม TMR ที่ใช้ CoFeB เป็นอิเล็กโทรด และ MgO เป็น ชั้นจนวน มีขนาดสูงถึง 230% ได้ถูกผลิตเป็นผลลัพธ์ ทำให้แผ่นฟิล์มบาง TMR ที่ใช้ CoFeB เป็นอิเล็กโทรด และ MgO เป็นชั้นจนวน นั้นถูกใช้เป็นตัวตรวจจับ สำหรับอุปกรณ์จัดเก็บข้อมูลจนถึงปัจจุบัน

ในเชิงของการประยุกต์ใช้นั้น ได้มีการทดลองใช้ แผ่นฟิล์มบางแม่เหล็ก TMR ที่มี Al-O เป็นชั้นจนวน ในหัวบันทึกรุ่นสามิคในเมื่อ 2002 [33] โดยหัวบันทึก TMR ที่สามารถใช้สำหรับ ฮาร์ดดิสก์ที่มี ความจุมากกว่า 150 Gbit/inch ได้ถูกรายงานเป็นครั้งแรกในปี 2004 [34] และ ในปี 2006 [35] แผ่นฟิล์ม บาง TMR ได้ถูกใช้เป็นหัวบันทึกข้อมูล สำหรับฮาร์ดดิสก์ ในเชิงพาณิชย์ที่มีความจุขนาด 300 Gbit/inch จนกระทั่งปัจจุบันนี้ แผ่นฟิล์มบาง TMR ได้ถูกใช้เป็นอุปกรณ์หลัก ที่ใช้ในฮาร์ดดิสก์ไดร์ฟทั่วไป และ เป็นส่วน สำคัญที่ทำให้ ความจุข้อมูลของฮาร์ดดิสก์ไดร์ฟ สามารถเพิ่มขึ้นได้มากกว่า 1Tbit/inch [31]

โครงสร้างพื้นฐานของแผ่นฟิล์มบางแม่เหล็ก TMR ประกอบไปด้วย ชั้นสารแม่เหล็ก ประเภทเฟอร์โรแมกเนติกส์ (Ferromagnetic) สอดชั้น ประกอบด้วย 1) ชั้โนิสระ (Free Layer) ที่ทิศทาง ของ แมกนีติเดชชั่น ของชั้โนิสระนี้ จะเปลี่ยนแปลงตามสนามแม่เหล็กจากภายนอก 2) ชั้นถูกบังคับ (Pin Layer) แมกนีติเดชชั่นของชั้นถูกบังคับ ไม่สามารถเปลี่ยนแปลงทิศทางได้โดยสนามแม่เหล็กจากภายนอก และจะทำ หน้าที่แสดงทิศทางอ้างอิงให้กับแผ่นฟิล์มบางทางแม่เหล็ก และ ชั้นจนวน (Insulator) ซึ่งจะถูกขับโดย ชั้น โนิสระ และ ชั้นถูกบังคับ ในกรณีที่มีสนามแม่เหล็กจากภายนอก ป้อนให้กับ แผ่นฟิล์มบางแม่เหล็ก จะมีผลทำ ให้ แมกนีติเดชชั่น ของชั้โนิสระหมุนทำมุกกับแมกนีติเดชชั่นของชั้นบังคับ เนื่องจากปริมาณของกระแสที่

สามารถให้ผลผ่านชั้นจวนได้นั้น ขึ้นอยู่กับ ทิศทางระหว่างแมกเน่ไดเช่นของชั้น อิสระ และ ชั้นบังคับ ในกรณีที่ แมกเน่ไดชั้นของชั้นอิสระ นานกับ แมกเน่ไดเช่นของชั้นบังคับ จะส่งผลให้กระแสไฟฟ้าผ่านชั้นจวนได้มาก เรียกว่ากระแสในสภาวะข้าม (I_p) ในทางตรงข้าม ถ้า แมกเน่ไดเช่นของชั้นอิสระเรียงตัวอยู่ในทิศทางตรงข้ามกับชั้นบังคับ ปริมาณของกระแสที่ไฟฟ้าผ่านชั้นจวน จะมีปริมาณน้อย เรียกว่า กระแสในสภาวะตรงข้าม (I_{AP}) ดังนั้น สัดส่วน TMR จะมีค่าเป็น

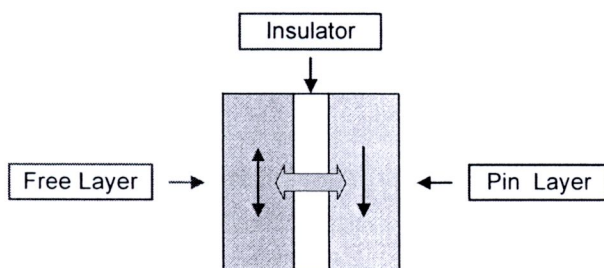
$$\text{TMR Ratio} = \frac{I_p - I_{AP}}{I_{AP}} \quad (2.12)$$

ซึ่ง สามารถเขียนในรูปของความต้านทานได้เป็น

$$\text{TMR Ratio} = \frac{R_{AP} - R_p}{R_p} \quad (2.13)$$

โดยที่ R_{AP} คือ ความต้านทานในสภาวะตรงข้าม

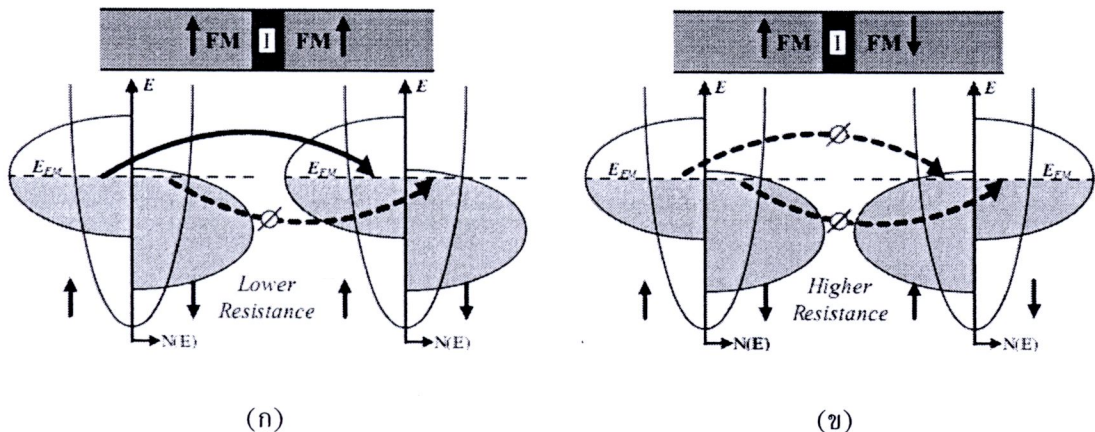
R_p คือ ความต้านทานในสภาวะข้าม



ภาพที่ 2.10 โครงสร้างพื้นฐานของแผ่นฟิล์มแม่เหล็ก TMR

การเกิดปรากฏการณ์ TMR สามารถอธิบายได้โดยอาศัย แบบจำลองของ Jullier ซึ่งได้ถูกนำเสนอไว้ตั้งแต่ปี ค.ศ. 1975 Jullier [37] อาศัย DOS ในการอธิบายถึง ปริมาณของสปินหมุนชี้ และสปินหมุนลง ที่ถูกขับย้ายจาก วัสดุแม่เหล็กฝั่งซ้าย ผ่านชั้นจวนไปยัง วัสดุแม่เหล็กฝั่งขวา

ข้อสมมุติฐานของ Jullier ประกอบไปด้วยข้อสมมุติฐานที่สำคัญ 2 ข้อ คือ ข้อแรก สปินจะไม่มีการเปลี่ยนแปลงทิศทางในขณะที่ลอดผ่านชั้นจวน และ ข้อที่สอง อิเล็กตรอนที่ลอดผ่านจวนจะถูกพาไปยังย่านที่มีสภาวะเดียวกันกับสถานะของอิเล็กตรอนตัวนั้น กล่าวคือ อิเล็กตรอนสปินชี้จะเคลื่อนที่ไปยังย่านที่สปินชี้ และตรงข้าม อิเล็กตรอนที่อยู่ในสถานะสปินลง จะถูกพาไปยังย่านที่มีสปินลง



ภาพที่ 2.11 ความสัมพันธ์ระหว่าง DOS และการเกิดสpin polarization เช่น เมื่อ พิศทางของแมกнетิซึชั่นของชั้น เฟอร์โรแมกเนติกส์อยู่ใน สภาวะ ตรงข้าม (g) และ ตรงข้าม (h) ในที่นี้ จะเรียก เฟอร์โรแมกเนติกส์ที่อยู่ฝั่งซ้ายว่า ตัวจ่าย และเรียก เฟอร์โรแมกเนติกส์ที่อยู่ฝั่งขวาว่า ตัวรับ [38]

จากภาพที่ 2.11(g) TMR อยู่สภาวะขนาด เมื่อพิจารณาเฉพาะกรณี อิเล็กตรอนหมุนเข็ม จะพบว่า ในด้านตัวจ่าย ขนาดของ DOS ที่ระดับพลังงานเฟอร์นี มีค่ามากนั้น คือจำนวนของสpinหมุนเข็มนี้ ปริมาณมาก ในขณะที่ด้านตัวรับ ขนาดของ DOS มีค่ามากเช่นเดียวกัน ซึ่งหมายความว่า สามารถรับอิเล็กตรอนได้มาก ดังนั้น กระแสที่เกิดจากการเคลื่อนที่ของสpinหมุนเข็ม จะมีขนาดมาก แต่เมื่อพิจารณาด้านของสpinหมุนลง จะพบว่า ด้านตัวจ่าย DOS มีขนาดไม่มาก เช่นเดียวกันกับฝั่งรับ ดังนั้น กระแสที่เกิดจากสpinหมุนลงมีค่าน้อย กล่าวโดยสรุปได้ว่า ในสภาวะขนาดนี้ กระแสจาก ตัวจ่าย จะสามารถไหลไปยังตัวรับได้มาก ดังนั้น ค่าความต้านทานของ TMR ในสภาวะขนาดนี้จึงมีค่าต่ำ ขนาดของกระแสที่เกิดจาก TMR ในสภาวะขนาด จะสามารถแสดงความสัมพันธ์ได้ตามสมการที่ (2.14) [39]

$$I_p \propto N_{\uparrow}^L N_{\downarrow}^R + N_{\downarrow}^L N_{\uparrow}^R \quad (2.14)$$

โดยที่ I_p คือกระแสในสภาวะขนาด

$N_{\uparrow(\downarrow)}^{L(R)}$ คือ จำนวนของสpinอิเล็กตรอน หมุนเข็ม (ลง) ของอิเล็กโตรดด้านซ้าย(ขวา)

ภาพที่ 2.11(h) แผ่นฟิล์มบาง TMR อยู่ในสภาวะตรงข้าม ขนาดของ DOS ของสpinหมุนเข็มของฝั่งซ้ายมีขนาดมาก แต่ ขนาดของ DOS ของสpinหมุนเข็มของตัวรับมีขนาดน้อย คือ สามารถรับกระแสได้น้อย ดังนั้น กระแสที่เกิดจากสpinหมุนเข็มนี้จึงมีค่าไม่มากนัก ในส่วนของสpinหมุน จะเห็นได้ว่า DOS ของตัวจ่าย มีค่าน้อยดังนั้น กระแสที่ไหลผ่านชั้นจนวน จึงมีค่าน้อยลงแม้ว่า ในด้านตัวรับ DOS ของสpinหมุนลงจะมีค่ามากก็ตาม ดังนั้น ในกรณีที่ TMR อยู่ในสภาวะตรงข้าม กระแสจะสามารถไหลจากตัวจ่ายไปยัง ตัวรับได้น้อย ส่งผลทำให้ ความต้านทานของ TMR มีค่าสูง ขนาดของกระแสที่เกิดจาก TMR ในสภาวะขนาด จะสามารถแสดงความสัมพันธ์ได้ตามสมการที่ (2.15) [39]



$$I_{AP} \propto N_{\uparrow}^L N_{\downarrow}^R + N_{\downarrow}^L N_{\uparrow}^R \quad (2.15)$$

โดยที่ I_{AP} คือกระแสในสภาวะตรงข้าม

$N_{\uparrow(\downarrow)}^{L(R)}$ คือ จำนวนของสpinอิเล็กตรอน หมุนซึ่น (ลง) ของอิเล็กโตรดด้านซ้าย(ขวา)

เมื่อนำค่าของ I_p และ I_{AP} ไปแทนในสมการที่ 2.12 จะทำให้ได้ขนาดของ TMR Ratio ในรูปแบบของ สpinโพลาไรเซชั่น [29]

$$\text{TMR Ratio} = \frac{2P_L P_R}{1 - P_L P_R} \quad (2.16)$$

โดยที่ P คือ Spin Polarization ซึ่งสามารถคำนวณได้จาก $P_i = \frac{N_{\uparrow}^i - N_{\downarrow}^i}{N_{\uparrow}^i + N_{\downarrow}^i}$

จากสมการ (2.12) พบร้า ถ้าต้องการออกแบบ ให้ความต้านทานของ แผ่นฟิล์มบางมีสัดส่วน TMR ที่มากขึ้นนั้น จำเป็นที่จะต้อง เลือกใช้สาร ที่มีขนาดของ P สูง ในปัจจุบันนี้ CoFeB เป็นสารที่ให้ค่า P สูงสุดคือ 65% [30] ดังนั้น CoFeB จึงเป็นวัสดุที่ ถูกนำมาใช้ในการจัดเก็บข้อมูล และสามารถให้ค่า อัตราส่วน TMR ได้มากถึง 600 % รวมไปถึงการที่นำมาระบบเป็นหัวอ่านข้อมูล สำหรับหัวบันทึก [36]

นอกจาก DOS แล้ว ความสมมาตรของฟังก์ชันคลื่น (Symmetry of Wave Function) ยัง เป็นปัจจัยสำคัญประการหนึ่งที่ส่งผลต่อประสิทธิภาพของ แผ่นฟิล์มบาง TMR ทั้งนี้เนื่องจาก ความสมมาตร ของฟังก์ชันคลื่นเป็นตัวกำหนดความเร็ว อัตราการลดลงของสpinอิเล็กตรอน [41]

โดยอาศัยหลักเกณฑ์ทางกลศาสตร์คุณต้มที่ว่า อิเล็กตรอนมีคุณสมบัติเป็นคลื่น ดังนั้นเมื่อ อิเล็กตรอน ให้ลอดเข้าไปยังบริเวณที่เป็นจวน ระดับพลังงานของอิเล็กตรอน จะลดลงแบบเอ็กโพเนลเชียน (Exponential) หรือ ที่เรียกการลดลง หรือดีเคย์ (Decay) นั้นเอง การดีเคย์จะช้าหรือเร็วนั้น ถูกกำหนดโดย ค่า การลดthon สำหรับในกรณีของ วัสดุจุนวนที่มีโครงสร้างเป็นผลึกนั้น ค่าการลดthonจะสัมพนธ์กับ ฟังก์ชันคลื่น และความหนาของวัสดุจุนวน ตามที่แสดงในสมการที่ (2.17) [42]

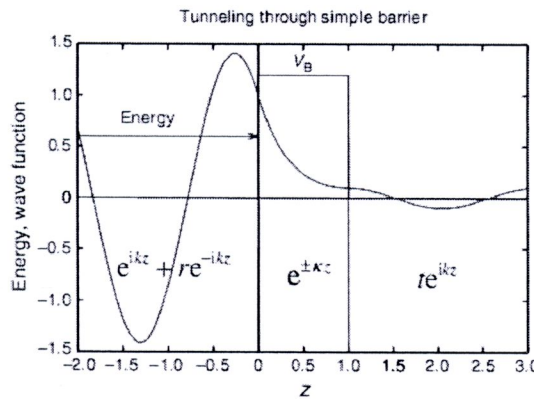
$$T \propto \exp(-2k\sigma d) \quad (2.17)$$

โดยที่ T = อัตราการลดthonของฟังก์ชันคลื่น

k = ดัชนี k

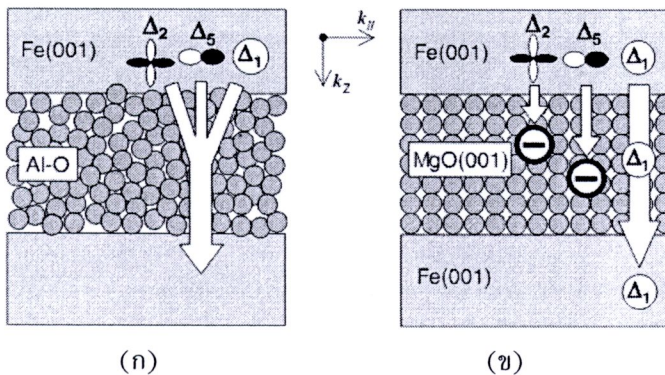
d = ความหนาของจุนวน

σ = ตัวชี้สถานะของการสpin



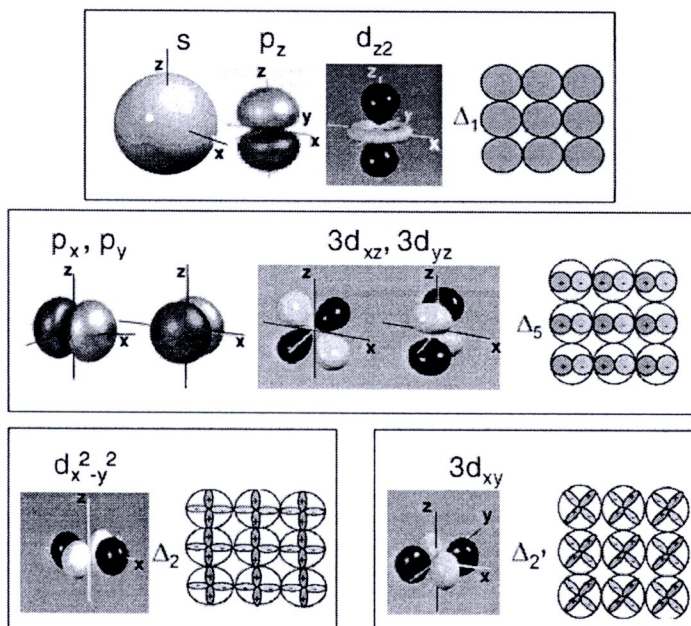
ภาพที่ 2.12 การให้ผลผ่านจำนวนของกลุ่มอิเล็กตรอน โดยที่ กลุ่มอิเล็กตรอนที่ผ่านเข้ามายังบริเวณจำนวน (Barrier) ถูกกำหนดโดย $e^{ikz} + re^{-ikz}$ และกลุ่มอิเล็กตรอนที่ลอดผ่านไปได้ถูกกำหนดโดย te^{ikz} โดยที่ค่าในบริเวณจำนวนจะมีขนาดลดลงซึ่งกำหนดโดย $e^{\pm kz}$ [41]

อัตราการลดทอนของคลื่นภายในผลึกนั้น จะเป็นการบ่งบอกปริมาณของสปินอิเล็กตรอนที่ลดลง ในขณะที่สปินอิเล็กตรอนไหลเข้าไปยังสถานะอีวานเนสเซนซ์ (evanescence State) ของชั้นจำนวน ซึ่ง อัตราการลดทอนนี้ ถูกกำหนดโดยความสมมาตรของฟังก์ชันคลื่น ความสมมาตรของฟังก์ชันคลื่น จะถูกพับในวัสดุที่โครงสร้างของผลึกมีความสมมาตร เช่นในกรณีของผลึก MgO เท่านั้น แต่ในวัสดุที่การจัดเรียงโครงสร้าง อะตอมไม่แน่นอน เช่น AlO ที่มีโครงสร้างเป็นแบบ อสัณฐาน (Amorphous) นั้น จะไม่มีค่าสมมาตรของฟังก์ชันคลื่น



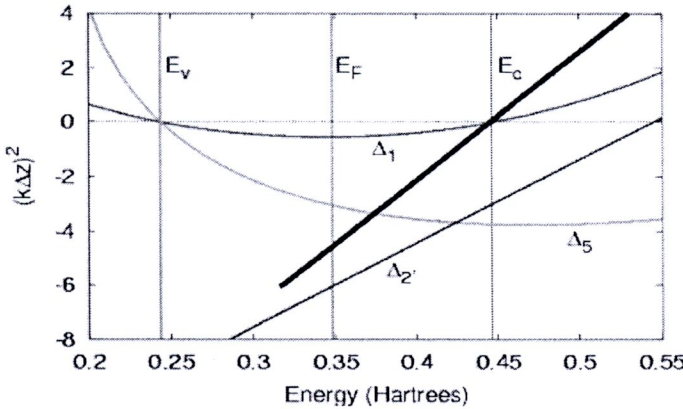
ภาพที่ 2.13 (ก) เส้นทางการเคลื่อนที่ของอิเล็กตรอนผ่านสมมาตรต่าง ๆ สำหรับ แผ่นฟิล์มบาง TMR ที่ใช้ Al-O เป็นจำนวน ซึ่งจะพบว่าการเคลื่อนที่ของอิเล็กตรอนจะไม่มีทิศทางที่แน่นอน [43]
 (ข) เส้นทางการเคลื่อนที่ของอิเล็กตรอนผ่านสมมาตรต่าง ๆ สำหรับ แผ่นฟิล์มบาง TMR ที่ใช้ ผลึก MgO เป็นจำนวน ซึ่งจะพบว่าการเคลื่อนที่ของอิเล็กตรอนจะไม่มีทิศทางที่แน่นอน [43]

ค่าความสมมาตรของฟังก์ชันคลื่นนั้น ถูกแบ่งออกตามความสมมาตรของ กลุ่มการกระจายตัวของอิเล็กตรอนในแต่ละวงโคจรภายใต้ความสมมาตร (Atomic Orbital) โดยที่ค่าสมมาตร มี 4 ค่าด้วยกัน [42] คือ 1) Δ_1 เป็นค่าความสมมาตรที่แสดงถึง ความสมมาตรในระนาบของกลุ่มของอิเล็กตรอนที่กระจายตัวในวงโคจร s p_z และ d_z^2 ค่าสมมาตร Δ_1 นี้จะขึ้นอยู่กับวงอิเล็กตรอน s เป็นหลัก 2) Δ_5 เป็นค่าความสมมาตรที่แสดงถึง ความสมมาตรในระนาบของกลุ่มของอิเล็กตรอนที่กระจายตัวในวงโคจร p_x p_y d_{xz} และ d_{yz} ค่าสมมาตร Δ_5 นี้ จะขึ้นอยู่กับวงอิเล็กตรอน วง d เป็นหลัก 3) Δ_2 เป็นค่าความสมมาตรที่แสดงถึง ความสมมาตรในระนาบของกลุ่มของอิเล็กตรอนที่กระจายตัวในวงโคจร $d_{x^2-y^2}$ และ 4) Δ_2' เป็นค่าความสมมาตรที่แสดงถึง ความสมมาตรในระนาบของกลุ่มของอิเล็กตรอนที่กระจายตัวในวงโคจร d_{xy}



ภาพที่ 2.14 การแบ่งประเภทของสมมาตร ตาม วงโคจรของอิเล็กตรอน [42]

การพิจารณา ความสัมพันธ์ระหว่าง อัตราการลดทอนและ ความสมมาตรนั้น สามารถทำได้โดยสมมุติให้ ความสมมาตรเป็น โหนด (Node) ที่เชื่อมต่อ กันภายในโครงสร้างของผลึก จากภาพที่ 2.14 จะเห็นว่า ความสมมาตร Δ_1 มีขนาดใหญ่กว่า ความสมมาตร Δ_5 Δ_2 และ Δ_2' ตามลำดับ ซึ่งหมายความว่า ใน ผลึกที่มีขนาดไดขนาดหนึ่งนั้น จำนวนโหนดที่เชื่อมต่อระหว่าง สมมาตร Δ_1 มีจำนวนน้อยกว่า จำนวนโหนด ของ สมมาตร Δ_5 Δ_2 และ Δ_2' ตามลำดับ ซึ่งมีผลทำให้ อัตราการลดทอนของ สมมาตร Δ_1 มีปริมาณน้อยกว่า อัตราการลดทอนของ สมมาตร Δ_5 Δ_2 และ Δ_2' ตามลำดับ ซึ่ง ถ้าการลดทอนมีขนาดน้อย จะมีผลทำให้ การลดลงเป็นไปอย่างช้าๆ แต่ถ้า อัตราการลดทอนมีค่ามากจะมีผลทำให้ การลดลงเป็นไปอย่างรวดเร็ว ดังนั้น อาจจะสรุปความได้รู้ว่า เมื่อ สpin อิเล็กตรอน จำนวนหนึ่ง เคลื่อนที่ผ่านเข้าไปยัง สถานะอีวานสเซนช์ภายในจำนวน ตามเส้นทาง ความสมมาตร Δ_1 จำนวน สpin อิเล็กตรอน จะค่อย ๆ ลดลง หรือ มีการเปลี่ยนแปลงน้อยกว่า สpin อิเล็กตรอนที่เคลื่อนที่ความสมมาตร Δ_5 Δ_2 และ Δ_2' ตามลำดับ ดังนั้น ถ้า สpin อิเล็กตรอน หมุนเข้าหรือลง เคลื่อนที่ในเส้นทาง สมมาตรที่ต่างกันมาก จะมีผลทำให้ค่า สpin โพลาไรซ์มากขึ้น ทำให้ค่า TMR สูงมากขึ้น

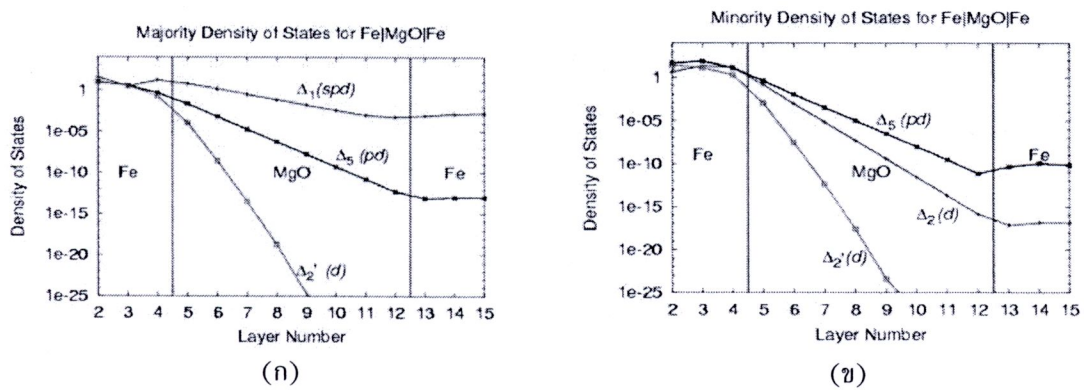


ภาพที่ 2.15 ความสัมพันธ์ระหว่าง พลังงาน และ $(k\Delta z)^2$ จากภาพ จะพบว่า มีเพียงเส้น $(k\Delta z)^2$ ที่เกิดจากสมมติ Δ_1 เท่านั้น ที่มีความต่อเนื่องจากย่านวงนอกผ่านสถานะอีวานเนส เช่นที่ภายในจวน ไปยัง ย่านด้านใน [41]

ภาพที่ 2.15 แสดงการอัตราการลดลงของ ความสมมติร่างๆภายในวัสดุ MgO ซึ่งค่า $(k\Delta z)^2$ เป็นค่าที่ใช้แสดงถึง ความเป็นโมเมนตัมของ โครงสร้างแบบที่เป็นแบบ โครงสร้างแบบเชิงช้อน (Complex Band Structure) ซึ่งขนาดของ $(k\Delta z)^2$ ที่น้อยกว่าศูนย์นั้น เป็นค่าที่ใช้บอกถึง ความแรงของการลดลง ค่า E_v แสดงถึง ระดับพลังงานที่อยู่ด้านบนสุดของด้านนอก ในขณะที่ E_c แสดงระดับพลังงานด้านล่างสุดสำหรับแบบด้านใน ซึ่งจากภาพที่ 2.15 จะพบว่า ที่ บริเวณย่านด้านนอกนั้น จะประกอบไปด้วย ความสมมติ Δ_1 และ ความสมมติ Δ_5 ในขณะที่ สำหรับ แบบด้านในนั้น จะมีเพียง ความสมมติ Δ_1 เท่านั้น ซึ่ง แสดงให้เห็นว่า สำหรับผลึก MgO นั้น ความสมมติ Δ_1 จะกระจายผ่าน ชั้นว่างของ MgO ได้ง่ายกว่า ความสมมติอื่นๆ

โดยปกติแล้ว เมื่อทำการ ปลูกสารแม่เหล็กเข้ากับจวน ความสมมติของสpin อิเล็กตรอน ที่ลดผ่านเข้าไปในจวนนั้น จะไม่มีการเปลี่ยนความสมมติ โดยที่ ความสมมติของสpin อิเล็กตรอนนี้ จะมีความต่อเนื่อง กับความสมมติในสถานะอีวานเนสเช่นที่ภายในวัสดุจวน ที่ระดับพลังงานเฟอร์มิ ของสารแม่เหล็ก โดยที่ ในกรณีที่สpinหมุนขึ้น นั้น ที่ระดับพลังงานเฟอร์มิจะมีความสมมติ Δ_1 สูงกว่า สมมติร่างค่า อื่นๆ แต่ในกรณีที่ สpinหมุนขึ้นนั้น จะไม่พบร่าง ความสมมติ Δ_1 ซึ่งความแตกต่างนี้เองที่ทำให้ ค่าอัตราส่วนของ TMR มีค่าสูงมาก

จากการที่ 2.16 เป็นผลที่ได้จากการคำนวณค่า DOS ของการให้ผลผ่าน จาก Fe ด้านหนึ่ง ผ่านจวน MgO ไปยัง สาร Fe ที่อยู่อีกด้านหนึ่ง จะพบว่า ในกรณี ของ สpinอิเล็กตรอนหมุนขึ้น ความสมมติ Δ_1 จะมี การลดลงช้ากว่าความสมมติร่างค่าอื่น ซึ่งหมายความว่า ปริมาณสpinอิเล็กตรอนที่ให้ผลผ่านชั้นจวนนั้น มีปริมาณเปลี่ยนแปลงไม่นัก แต่ในกรณีของ สpinหมุนลงนั้น จะพบว่า ไม่มีความสมมติ Δ_1 ซึ่ง หมายความว่า อิเล็กตรอนสpinลง ที่มีความสมมติ Δ_1 จะไม่สามารถให้ผลผ่านจวนไปได้ นั่นคือ สpin อิเล็กตรอนที่มีความสมมติ Δ_1 มีคุณสมบัติเป็น ตัวกรองการสpin กล่าวคือ ความสมมติ ดังกล่าวนี้ มีเพียง สpinหมุนขึ้นเท่านั้น ที่ให้ผลผ่านไปได้แต่ สpinหมุนลงไม่สามารถผ่านไปได้ ซึ่ง คุณสมบัติเหล่านี้เป็นการ ยืนยัน ได้ว่า ในทางทฤษฎีแล้ว TMR ที่มีโครงสร้างเป็นแบบ Fe-MgO-Fe จะมีค่า สัดส่วน TMR ประมาณ 1000 % [29]



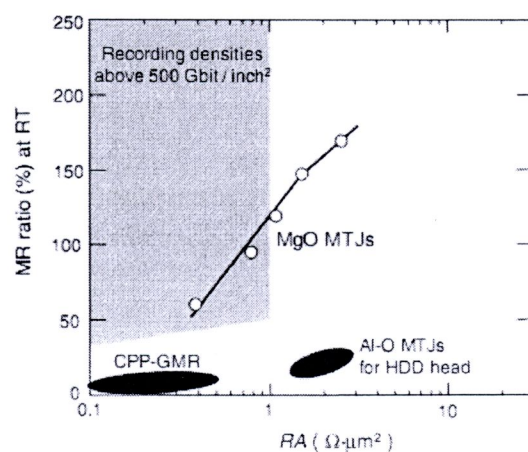
ภาพที่ 2.16 การเปลี่ยนแปลง DOS ที่แต่ละชั้นของโครงสร้างของ Fe/MgO/Fe [41]

(ก) สpin อิเล็กตรอนของอิเล็กโตรดทั้งสองด้านมีทิศชี้ขึ้น

(ข) สpin อิเล็กตรอนของอิเล็กโตรดทั้งสองด้านมีทิศชี้ลง

แผ่นฟิล์มบาง TMR ที่มี Fe เป็นอิเล็กโตรด ใช้ MgO เป็นชั้นจานวน ได้ถูกสร้างเป็นผลสำเร็จในปี 2007 แต่ทั้งนี้เนื่องจาก ในการที่จะประยุกต์ใช้ แผ่นฟิล์มบาง TMR เพื่อใช้เป็นตัวตรวจจับสำหรับ อุปกรณ์จัดเก็บข้อมูลนั้น จะต้องเพิ่มชั้นสาร Antiferromagnetic เข้ากับชั้นบังคับ ของแผ่นฟิล์มบางแม่เหล็ก ซึ่งความไม่เข้ากันระหว่างชั้นสารของ Antiferromagnetic และชั้นบังคับนั้น เป็นสาเหตุสำคัญที่ไม่สามารถทำให้ MTJ ยังไม่สามารถนำมาใช้ได้ในทางปฏิบัติ

โครงสร้างของแผ่นฟิล์มบาง TMR ที่ถูกใช้ใน อุปกรณ์จัดเก็บข้อมูลนั้น จะประกอบไปด้วย CoFeB ประยุกต์เข้ากับ ชั้นจานวน MgO ซึ่งมีขนาดสัดส่วน TMR ที่สูงมาก ถึงแม้ว่า พื้นที่ความด้านทานจะมีขนาดเล็ก อย่างไรก็ตาม จากการที่แผ่นฟิล์มบางแม่เหล็กTMR มีส่วนประกอบของชั้นจานวนที่มีความบางมาก จึงทำให้แผ่นฟิล์มบางแม่เหล็กประยุกต์นี้ ง่ายต่อความเสียหายอันเป็นผลที่เกิดจาก แรงดันและความพลังงาน ร้อนต่อการหลای (Breakdown)



ภาพที่ 2.17 ความสัมพันธ์ระหว่างพื้นที่ความด้านทาน และ สัดส่วน TMR ที่อุณหภูมิห้อง จากภาพพบว่า แผ่นฟิล์มบาง ที่ใช้ผลึก MgO เป็นจานวน สามารถนำประยุกต์ใช้ ได้ใน หัวบันทึกข้อมูลที่มี ความจุมากกว่า 500 Gbit/inch² [36]



2.4.2 การหดตัวที่เกิดขึ้นในแผ่นฟิล์มบางแม่เหล็ก

เนื่องจาก ชั้นจานวนที่มีความบางมาก จึงทำให้ แผ่นฟิล์มบาง TMR ง่ายต่อการเกิด การหดตัว นอกเหนือไปนี้ ในเรื่องของการประยุกต์ใช้ แผ่นฟิล์มบาง TMR สำหรับใช้อ่านข้อมูลนั้น จำเป็นจะต้องมี แรงดันป้อนใบแอลอส (Bias) ให้กับแผ่นฟิล์มบาง TMR ดังนั้นการศึกษาผลของ การหดตัวในชั้นจานวนของ แผ่นฟิล์มบาง TMR จึงเป็นปัญหาที่มีความสำคัญมาก

ประเภทของการหดตัวที่พบใน แผ่นฟิล์มบาง TMR ถูกแบ่งออกเป็นสองประเภทคือ 1) การหดตัวแบบหนัก (Intrinsic breakdown) และ 2) การหดตัวแบบเบา (Extrinsic breakdown) โดยที่ การหดตัวทั้งสองประเภทนี้ เกิดจากสาเหตุที่ต่างกัน

การหดตัวแบบหนัก เป็นผลร่วมกันของ สนามไฟฟ้าและความร้อน ที่ไปกระทำต่อ ไดอิเล็ก ตริก ของชั้นจานวน ถ้าความเข้มของสนามไฟฟ้ามีขนาดมากพอ จะส่งผลทำให้พันธะไอออน ของ Dipole Moment เกิดการขาดออกจากกันอย่างทันทีทันใด โดยมีพลังงานค่าหนึ่งเป็นตัวกระตุ้น การหดตัวแบบหนัก สามารถอธิบายได้โดยอาศัย E-Model [44-45] ซึ่งเป็นสมการอธิบายความน่าจะเป็นของการเกิด Breakdown ($p(t)$) โดยมีนิยามตาม สมการ (2.18)

$$p(t) = A \exp\left(\frac{V(t)}{B}\right) \quad (2.18)$$

โดยที่

$V(t)$ คือ แรงดันคร่อมจานวนความหนา (t_B) ที่เกิดจาก สนามไฟฟ้า ($E(t)$) คำนวณได้จาก $V(t) = E(t) \times t_B$

A คือ ผลของความร้อน (T) และ พลังงานกระตุ้น (E_A) ที่เกิดขึ้นใน จานวนพื้นที่ A , คำนวณได้จาก

$$A = A_0 \exp(-E_A/kT) \quad (K = \text{Boltzmann's Constant})$$

B คือ ผลของความร้อนที่ทำให้ อะตอมภายในจานวนความหนา (t_B)

เกิดการเคลื่อนที่ โดยคำนวณได้จาก $B = kTt_B/a|qZ|$ ($a = \text{atomic space}$, $Z = \text{number of ion}$, $q = \text{charge}$)

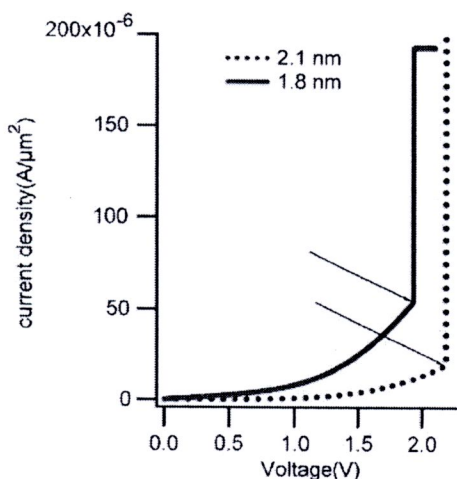
ที่ระดับแรงดัน ที่ทำให้เกิดการหดตัว หรือ แรงดันหดตัว จะเปรียบเทียบตามอัตราส่วนของ A และ B

$$V(t) \approx \left(\frac{B}{A}\right) \quad (2.19)$$

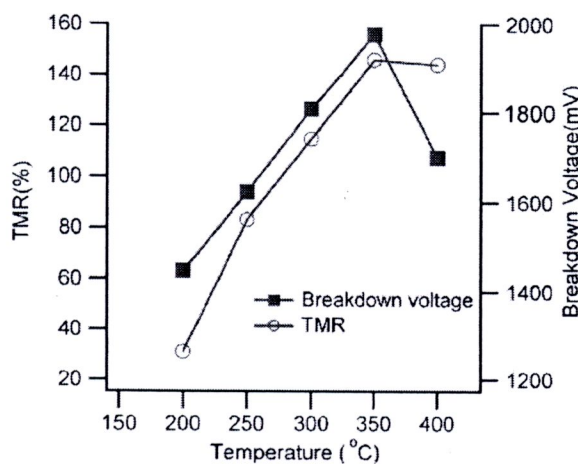
ในกรณี ที่ แรงดันที่จ่ายให้กับแผ่นฟิล์ม มีความเร็วของการเปลี่ยนแปลงแรงดันเป็น $\frac{dV}{dt}$ จะพบว่า ขนาดของแรงดันสูงสุดจะมีขนาดเป็น

$$V_{\max} \approx B \ln\left(\frac{dV/dt}{AB}\right) \quad (2.20)$$

จากสมการที่ (2.18) จะพบว่า การเกิดการทะลายนั้น จะขึ้นอยู่กับความหนา และพื้นที่ของ แผ่นฟิล์มบาง ซึ่งถ้าพิจารณา ในกรณีที่แผ่นฟิล์มบางที่มีพื้นที่เท่ากัน จะพบว่า ถ้าแผ่นฟิล์มบาง มีความบางน้อย จะเกิดการทะลายได้ง่ายกว่า แผ่นฟิล์มบางที่มีความหนากว่า นอกจากนี้ จะพบว่า ระดับของแรงดันที่ทำให้เกิด การทะลายจะเพิ่มสูงขึ้น ตามอุณหภูมิที่ร้อนขึ้น กล่าวคือถ้าความร้อนของแผ่นฟิล์มบาง มีอุณหภูมิที่เพิ่มขึ้น ขนาดของแรงดันที่ทำให้เกิดการทะลายจะมีขนาดสูงกว่า กรณีที่แผ่นฟิล์มบางมีความร้อนต่ำกว่า



ภาพที่ 2.18 การเกิดการทะลายแบบหนักสำหรับแผ่นฟิล์มบางแม่เหล็กที่มีความหนาต่างกัน จุดลูกศรชี้ เป็นการบออกลึงแรงดันที่ทำให้เกิดการทะลาย [45]



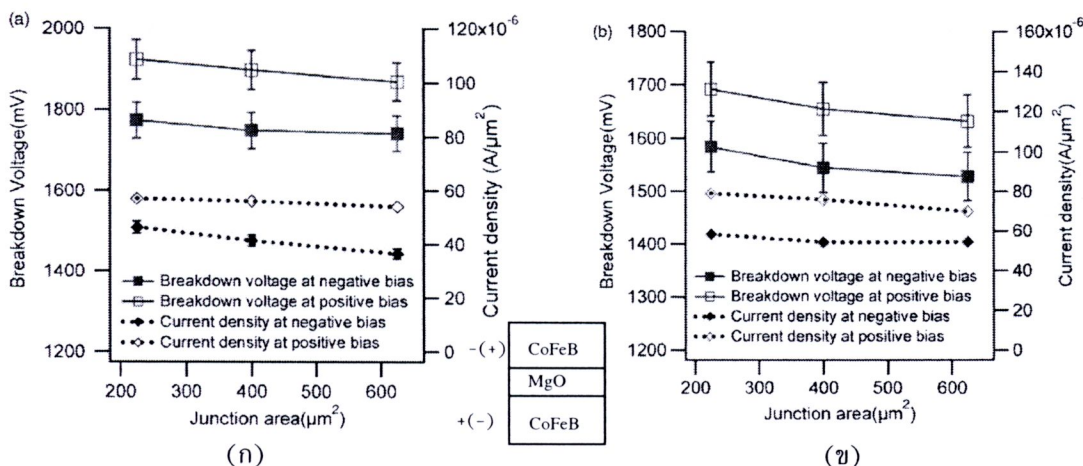
ภาพที่ 2.19 ผลของความร้อนที่มีต่อ การเกิดการทะลาย และ อัตราส่วน TMR [45]

จากภาพที่ 2.19 จะพบว่า เมื่ออุณหภูมิของแผ่นฟิล์มบางเพิ่มขึ้น จะมีผลทำให้ แรงดันที่ทำให้เกิดการทะลายมีค่ามีขนาดสูงขึ้น ซึ่งเป็นจริงตามสมการที่ (2.18) นอกจากนี้ อุณหภูมิที่สูงขึ้นจะมีผลทำให้ ขนาดของสัดส่วน TMR มีค่ามากขึ้นด้วย อย่างไรก็ตามจะพบว่า ที่อุณหภูมิประมาณ 350°C ระดับของ แรงดันทะลายมีแนวโน้มที่จะลดลง ในขณะที่ค่าสัดส่วน TMR เปลี่ยนแปลงเพียงเล็กน้อยเท่านั้น จากการที่ ระดับของแรงดันทะลายมีแนวโน้มลดลงนั้น เป็นผลที่เกิดจาก การความร้อนไปมีผลทำให้ พันธะที่อยู่ในชั้น ฉนวนมีการกระจายมากขึ้น นั้นคือระยะห่างระหว่างอะตอมมีค่ามากขึ้น ทำให้ขนาดของค่าตัวแปร B มีค่าลดลง

ทำให้ระดับแรงดันทะลายลดลง นอกจ้านี้ ยังพบว่าที่อุณหภูมิ 350°C พันระภาคใน MgO เกิดการจับตัวสมมาตรมากขึ้น ทำให้อัตราส่วน TMR ที่สูงมากขึ้น

นอกจ้านี้ ผลจากการจ่ายแรงดันสลับข้าม ยังเป็นตัวแปรสำคัญอีกประการหนึ่งที่ส่งผลต่อระดับแรงดันทะลาย ที่เกิดขึ้นในแผ่นฟิล์มบาง TMR กล่าวคือ ระดับแรงดันทะลายที่เกิดจาก การจ่ายแรงดันจาก อิเล็กโทรดด้านล่าง ไปยังอิเล็กโทรดด้านบน จะมีขนาดสูงกว่า ระดับแรงดันทะลายที่เกิดจาก การจ่ายแรงดัน จาก อิเล็กโทรดด้านบน ไปยังอิเล็กโทรดด้านล่าง

จากภาพที่ 2.20 จะพบว่า พื้นที่ของแผ่นฟิล์มบาง TMR ที่มีขนาดใหญ่ขึ้น จะทำให้ ระดับแรงดันทะลายมีแนวโน้มลดลง ซึ่งสามารถอธิบายได้โดยอาศัยสมการที่ (2.18) แต่เมื่อพิจารณา พื้นที่ของ แผ่นฟิล์มบางค่าใดค่าหนึ่ง จะสามารถสังเกตุเห็นได้อย่างชัดเจนว่า ระดับแรงดันทะลายที่เกิดจากการจ่ายแรงดัน จากด้านล่างของอิเล็กโทรดไปยังด้านบนของอิเล็กโทรด มีขนาดมากกว่า แรงดันทะลายที่ได้จากการจ่ายแรงดัน จาก ด้านบนของอิเล็กโทรดไปยังด้านล่างของอิเล็กโทรด ซึ่งจะเกิดขึ้นจากห้องร้อน ที่แมกเนไทร์เซ็นของ อิเล็กโทรดทั้งสอง อยู่ในสภาวะตรงข้าม และ สภาวะขานาน โดยที่ระดับแรงดันทะลายในสภาวะตรงข้าม จะมี ระดับแรงดันสูงกว่าระดับแรงดันที่เกิดขึ้นในสภาวะขานาน ซึ่งเป็นผลที่เกิดจากการที่ ความต้านทานแม่เหล็กใน สภาวะตรงข้ามมีค่าสูงกว่า ความต้านทานแม่เหล็กใน สภาวะขานาน เช่นเดียวกันกับกรณีของความหนาแน่นกระแส ซึ่งจะพบว่า ความหนาแน่นกระแสที่เกิดขึ้นในสภาวะตรงข้ามจะมี ขนาดต่ำกว่าความหนาแน่นกระแสที่ เกิดขึ้นในสภาวะขานาน

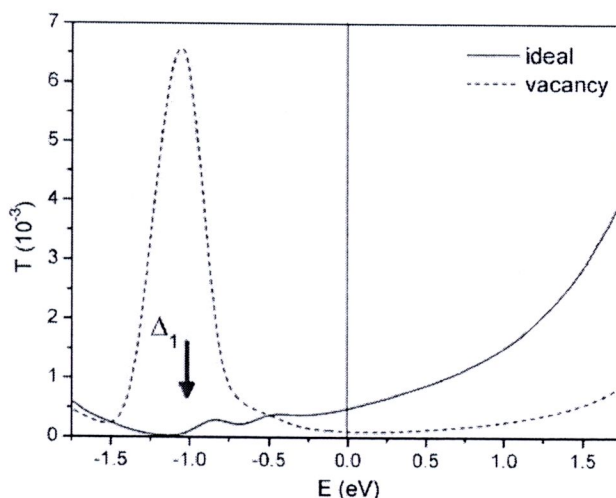


ภาพที่ 2.20 ผลของขนาดของพื้นที่ความต้านทาน ที่มีต่อการเกิดการทะลายและความหนาแน่นกระแส ที่เกิด จากการจ่ายแรงดันต่างข้าม (ก) แผ่นฟิล์มบาง TMR อยู่ในสภาวะ ตรงข้าม (ข) แผ่นฟิล์มบาง TMR อยู่ในสภาวะขานาน [45]

ผลที่ได้จากการที่ 2.20 นี้ ทำให้ทราบว่า ขนาดของแรงดันทะลาย และความหนาแน่น กระแส ของแผ่นฟิล์มบาง TMR ขึ้นอยู่กับขั้วจ่ายแรงดัน กล่าวคือ แผ่นฟิล์มบางแม่เหล็ก TMR ที่ถูกจ่าย แรงดันจาก อิเล็กโทรดด้านล่าง ไปยังอิเล็กโทรดด้านบน จะมีขนาดแรงดันทะลายสูงกว่า แผ่นฟิล์มบางแม่เหล็ก TMR ที่ถูกจ่ายแรงดันจาก อิเล็กโทรดด้านบนไปยังอิเล็กโทรดด้านล่าง ซึ่งสาเหตุที่ระดับแรงดันทะลายไม่ สมมาตรกันนี้ เกิดขึ้นได้จากหลาย ๆ สาเหตุ ข้อมูลตีรูนสำคัญประการหนึ่งที่สามารถใช้อธิบายความไม่ สมมาตรของระดับแรงดันทะลายคือ การหลุดออกของอะตอมอํอกซีเจน (Oxygen Vacancy)

จากที่กล่าวมาแล้วข้างต้น การทะลายในจำนวนนั้น เป็นผลที่เกิดจาก การที่แรงดันและความร้อนไปส่งผลทำให้ พันธะคู่ของจำนวนชาตออกอย่างทันทีทันใด ดังนั้น จึงมีความเป็นไปได้ว่า เมื่อจ่ายแรงดัน ให้แก่แผ่นฟิล์มบาง จะส่งผลทำให้อะตอมของอ็อกซีเจนหลุดออกไปจากผลึก MgO ซึ่งอาจจะทำให้ ความด้านทานแม่เหล็กมีการเปลี่ยนแปลง

ผลของ Oxygen Vacancy ที่เกิดขึ้นใน แผ่นฟิล์มบาง TMR ที่ประกอบไปด้วย Fe/MgO/Fe ได้ศึกษาโดยอาศัยการคำนวณ พบว่า การเกิด Oxygen Vacancy จะมีผลทำให้ค่าสัมประสิทธิ์การส่งผ่าน มีขนาดลดลงกว่าปกติ [36] ซึ่งหมายความว่า การเกิด Oxygen Vacancy มีผลทำให้ กระแสไฟฟ้านามีขนาดลดลง ส่งผลทำให้ความด้านทานสูงขึ้น และอาจจะทำให้ ต้องอาศัยระดับแรงดันทะลายที่สูงขึ้น อย่างไรก็ตาม ผลของ Oxygen Vacancy ที่เกิดขึ้นใน แผ่นฟิล์มบาง TMR ที่ประกอบไปด้วย CoFe(B)/MgO/CoFe(B) ยังไม่เคยได้รับการศึกษา นอกจากนี้ การพิสูจน์ข้อสมมุติฐานข้างต้นยังไม่เคยได้รับการพิสูจน์ ซึ่งการศึกษาผลของ Oxygen Vacancy ที่เกิดขึ้นใน แผ่นฟิล์มบาง TMR ที่ประกอบไปด้วย CoFe(B)/MgO/CoFe(B) นั้น จะได้รับการศึกษาในวิทยานิพนธ์เล่มนี้ โดยความสัมพันธ์ระหว่างพลังงานและ สัมประสิทธิ์การส่งผ่าน ของ แผ่นฟิล์มบางในอุดมคติ Fe/MgO/Fe แสดงไว้ในภาพที่ 2.21

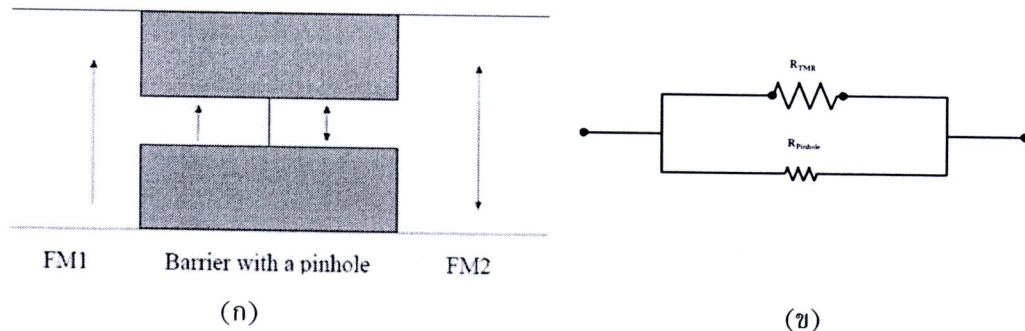


ภาพที่ 2.21 ความสัมพันธ์ระหว่างพลังงานและ สัมประสิทธิ์การส่งผ่าน ของ แผ่นฟิล์มบางในอุดมคติ Fe/MgO/Fe [46]

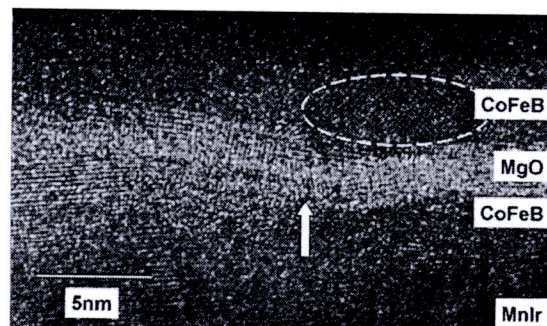
จากที่กล่าวไปแล้วในเบื้องต้นว่า ในการประยุกต์ ใช้แผ่นฟิล์มบาง TMR สำหรับการจัดเก็บข้อมูลนั้น จำเป็นที่จะต้องออกแบบให้มีพื้นที่ความด้านทานขนาดเล็กมาก และ จำเป็นที่จะต้องทำการปลูก (Growth) แผ่นฟิล์ม โดยอาศัยชั้นจำนวนที่บางมาก ๆ ดังนั้น ผลจากการปลูกแผ่นฟิล์ม อาจจะทำให้ อะตอมโลหะของจำนวนจับอยู่กับ อะตอมโลหะของวัสดุแม่เหล็กทั้งสองด้าน เกิดเป็นการเชื่อมต่อทางโลหะ หรือที่เรียกว่า พินໂอล (Pinhole) ซึ่งการเกิดพินໂอลนี้ จะพบที่บริเวณรอยต่อระหว่างจำนวน และ ชั้นสารแม่เหล็กของ แผ่นฟิล์ม บาง TMR ซึ่งเป็นสาเหตุของการทะลายแบบเบา (Soft Breakdown) [47-49] ดังตัวอย่างภาพถ่าย TEM ที่แสดงในภาพที่ 2.23

ผลของพินໂอลที่มีต่อ ขนาดของความด้านทานแม่เหล็ก TMR นั้น สามารถทำความเข้าใจได้ ง่าย โดยอาศัย วงจรขนาดที่แสดงในภาพที่ 2.22(ข) ในกรณีที่ แผ่นฟิล์มบางแม่เหล็กมีพินໂอลอยู่ก่อนแล้ว และเมื่อจ่ายแรงดัน ความแรงของสนามไฟฟ้าที่เกิดขึ้นในจำนวน จะส่งผลให้ขนาดของพินໂอลค่อย ๆ ขยายใหญ่

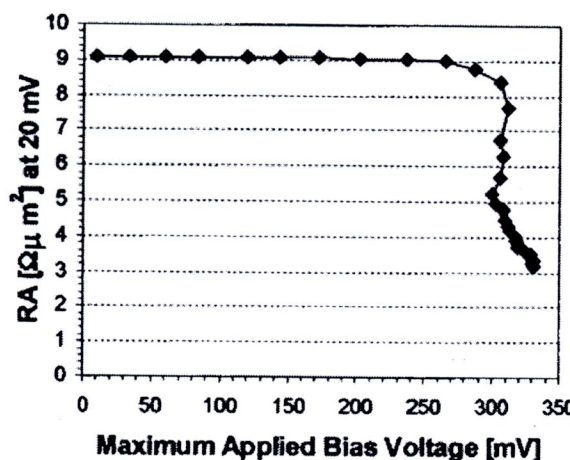
ขึ้น ตามระดับแรงดันที่สูงขึ้น การที่พินไฮโลมีขนาดใหญ่ขึ้นนี้ จะส่งผลทำให้กระแสไฟล์ผ่านพินไฮโลได้มากขึ้น ทำให้ขนาดของ R_{pinhole} มีขนาดค่อนข้าง ทำให้ความต้านทานรวมมีขนาดค่อนข้าง ลดลง ตามที่แสดงในภาพที่ 2.24



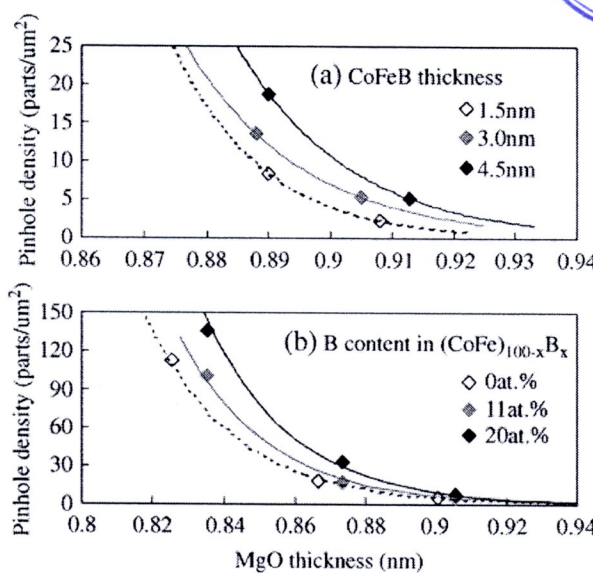
ภาพที่ 2.22 (ก) การเกิดพินไฮโลภายในแผ่นฟิล์มบางแม่เหล็ก TMR [40] (ข) วงจรขนาดที่ใช้แสดงถึงความสัมพันธ์ระหว่าง ต้านทาน TMR (R_{TMR}) และ ความต้านทานที่เกิดจาก พินไฮโล (R_{pinhole})



ภาพที่ 2.23 ภาพด้วย TEM ของแผ่นฟิล์มบาง TMR บริเวณที่ลูกศรชี้ แสดงถึงบริเวณที่เกิดพินไฮโลภายในวงกลมแสดงการจับตัวเป็นผลึกของ CoFeB [48]



ภาพที่ 2.24 ความสัมพันธ์ระหว่างการจ่ายแรงดัน และ พื้นที่ความต้านทาน [44]



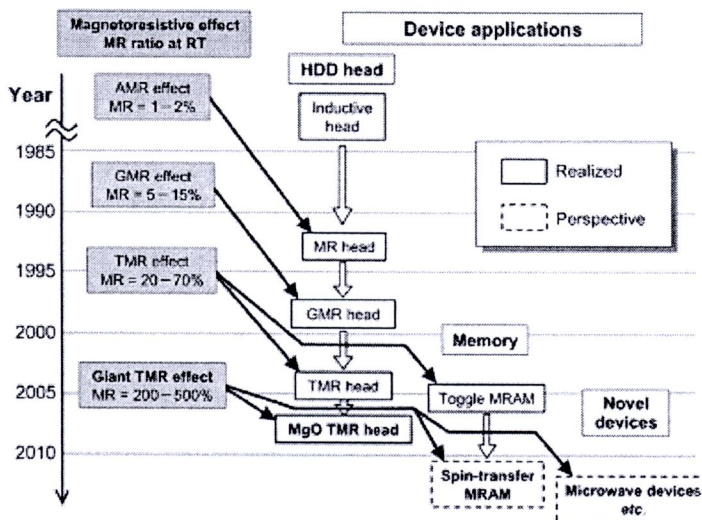
ภาพที่ 2.25 ความสัมพันธ์ระหว่างความหนาของชั้นจนวน MgO และ ขนาดของพินໂอล [51]

- (ก) ผลของความหนาของ CoFeB ที่มีต่อขนาดของพินໂอล
- (ข) สัดส่วนของ บอรอน (Boron: B) ที่มีต่อ ที่มีต่อขนาดของพินໂอล

โดยทั่วไปเชื่อว่า การเกิดพินໂอลในจนวน จะเกิดขึ้นในขั้นการปลูกแผ่นฟิล์มเท่านั้น แต่เมื่อเร็วๆ ได้มีการค้นพบว่า การกระจายตัวของบอรอน (Boron Diffusion) เข้าไปยังผลึก MgO ของ แผ่นฟิล์มบาง MTJ ที่ประกอบด้วย CoFeB/MgO/CoFeB นั้น อาจจะสามารถทำให้เกิดพินໂอลได้ [51] โดยที่ มีขนาดความหนาของอิเล็กโทรดเป็นตัวแปรสำคัญ

จากภาพที่ 2.25 จะพบว่าการเกิดพินໂอลนั้น จะลดลงเมื่อ ความหนาของผลึก MgO เพิ่มขึ้น แต่เมื่อพิจารณาที่ระดับความหนาของผลึก MgO ค่าใดค่าหนึ่งแล้ว จะพบว่าพินໂอลจะใหญ่ขึ้น ตามความหนาของ CoFeB ซึ่งเป็นผลที่เกิดจากการ เมื่อ CoFeB หนาขึ้น จำนวนของบอรอน มากขึ้นตาม ทำให้ พื้นที่การกระจายตัวของบอรอนเข้าไปยัง ผลึก MgO มีมากขึ้น ทำให้ได้พินໂอลที่ใหญ่ขึ้น ซึ่งผลของ จำนวนบอรอนที่ต่อขนาดของพินໂอลสามารถสังเกตเห็นได้จาก ภาพที่ 2.25 (ข)

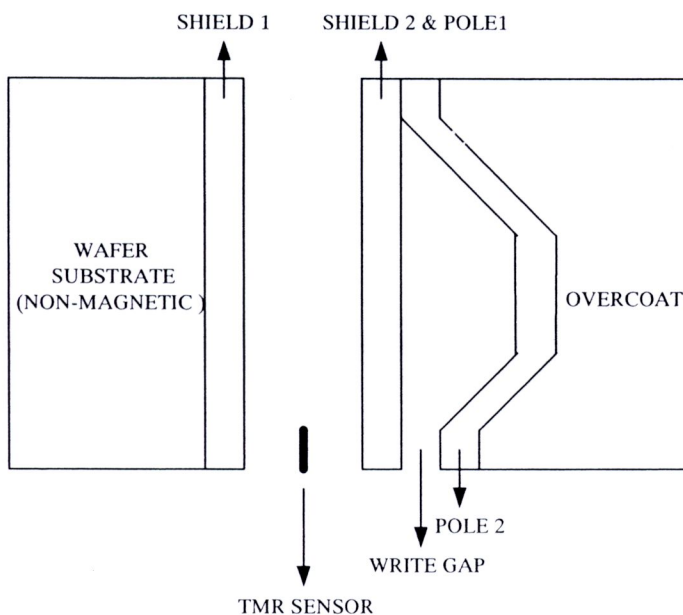
จากที่กล่าวทั้งหมดในหัวข้อนี้ จะพบว่า แผ่นฟิล์มบางแม่เหล็ก MTJ ที่ใช้ CoFeB เป็นชั้นอิสระและชั้นบังคับ โดยใช้ผลึก MgO เป็นจนวน จะให้ ค่าความต้านทาน TMR สูงมาก โดยที่ พื้นที่ความต้านทานมีขนาดเล็ก ทำให้แผ่นฟิล์มบาง TMR ที่มีโครงสร้างดังกล่าว เหมาะสำหรับการประยุกต์ใช้ในอุตสาหกรรมจัดเก็บข้อมูล โดยเฉพาะอย่างยิ่งการใช้เป็นตัวตรวจจับ สำหรับหัวอ่านข้อมูลของฮาร์ดดิสก์ไดรฟ์



ภาพที่ 2.26 วิวัฒนาการของการค้นพบ และใช้งาน ความต้านทานแม่เหล็ก [36]

2.5 หัวอ่านข้อมูลแม่เหล็กชนิด TMR

การพัฒนาเทคโนโลยีหัวบันทึกโดยใช้แผ่นฟิล์มบางทางแม่เหล็กในการอ่านข้อมูล เป็นตัวแปรหลักที่ทำให้ฮาร์ดดิสก์ไดรฟ์มีความจุของข้อมูลต่อพื้นที่ของแผ่นบันทึก (Media) สูงขึ้น แผ่นฟิล์มบางทางแม่เหล็ก ที่ใช้เป็นส่วนอ่านข้อมูลของหัวบันทึกในปัจจุบัน จะเป็นแบบที่ใช้แผ่นฟิล์มบาง TMR หัวบันทึกแบบใช้แผ่นฟิล์มบางทางแม่เหล็ก สำหรับอ่านข้อมูลนั้นจะประกอบไปด้วยส่วนประกอบพื้นฐาน สามส่วนคือ ส่วนเขียนข้อมูล ส่วนอ่านข้อมูล และส่วนป้องกัน (Shields) ดังภาพที่ 2.27



ภาพที่ 2.27 โครงสร้างของหัวบันทึก TMR

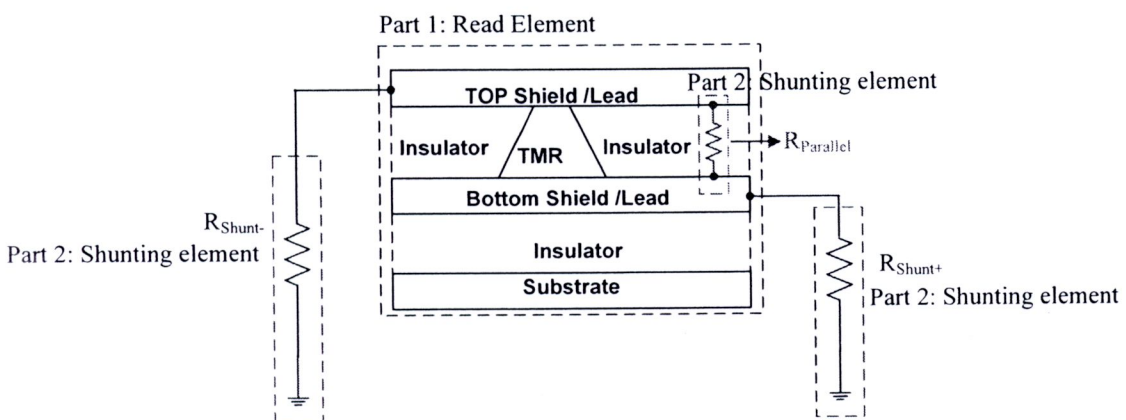
จากการที่แผ่นฟิล์มบางแม่เหล็ก MTJ มีขนาดของสัดส่วน TMR ที่สูงมาก มีพื้นที่ความต้านทานน้อย และ อาศัยการจ่ายกระแสในแนวเดียว ข้อดีต่าง ๆ เหล่านี้เองที่ทำให้ แผ่นฟิล์มบางแม่เหล็ก MTJ ถูกใช้เป็นตัวตรวจจับสำหรับ หัวอ่านข้อมูล ซึ่งเรียกว่า หัวอ่านมูลชนิด TMR ซึ่งหัวอ่านข้อมูลชนิดนี้ถูกใช้ใน ฮาร์ดดิสจ์ไดรฟ์ ที่มี ความจุมากกว่า 200 Gb/inch [26]

2.5.1 ส่วนเขียนข้อมูล

ส่วนเขียนข้อมูลที่ใช้ในหัวบันทึกจะอาศัยแผ่นฟิล์มบาง ใน การเขียนข้อมูลโดยมีองค์ประกอบ ที่สำคัญ 3 ส่วนด้วยกัน คือ ส่วนดัดลาวด (Coil) ส่วนแกนแม่เหล็ก (Core) และ ส่วนช่องว่าง (Gap) กระบวนการ เขียนข้อมูลลงบนแผ่นบันทึกทำได้โดยการ จ่ายกระแสให้แก่ชุดลาวด ทำให้เกิดความเข้มแม่เหล็ก หรือ แมgn ได้เช่นนี้ ในการแกนแม่เหล็ก ส่งผลให้เกิดสนามแม่เหล็กระหว่าง ช่องว่าง สนามแม่เหล็กที่เกิดขึ้น นี้จะเป็นตัวบังคับทิศทางของแมgn ได้เช่นนี้ ของแผ่นบันทึกทำให้ได้ บิท “1” และ ถ้ากลับทิศทางของกระแสที่จ่าย ให้ชุดลาวด จะทำให้สนามแม่เหล็กที่เกิดขึ้นระหว่างช่องว่าง เปลี่ยนทิศทางทำให้ทิศทางของแมgn ได้ซึ่งแผ่น บันทึก ข้อมูลกลับทิศทาง ทำให้ได้ บิท “0” [51] สำหรับหัวเขียนที่ใช้ในปัจจุบันนี้ จะเป็นแบบหัวเขียน แบบ ข้อเดียว (Single pole write head)[52]

2.5.2 ส่วนอ่านข้อมูล

ส่วนอ่านข้อมูล ทำหน้าที่อ่านข้อมูลจากแผ่นบันทึกข้อมูล ในปัจจุบันโครงสร้างของส่วนอ่าน ข้อมูลประกอบไปด้วยส่วนประกอบหลักสองส่วนด้วยกันคือ 1) ส่วนหัวอ่านข้อมูล ประกอบไปด้วย ส่วนฐาน ส่วนป้องกัน และ ส่วนอ่านข้อมูลแผ่นฟิล์มบางทางแม่เหล็กประเภท TMR 2) ส่วนของการต่อขนาด (Shunting Element) ซึ่งจะเป็นส่วนประกอบที่ถูกใช้สำหรับป้องกันความเสียหาย และลดสัญญาณรบกวนที่เกิดขึ้นใน หัวอ่าน หัวอ่านข้อมูล [53]



ภาพที่ 2.28 ส่วนประกอบของหัวอ่านข้อมูลแบบ TMR

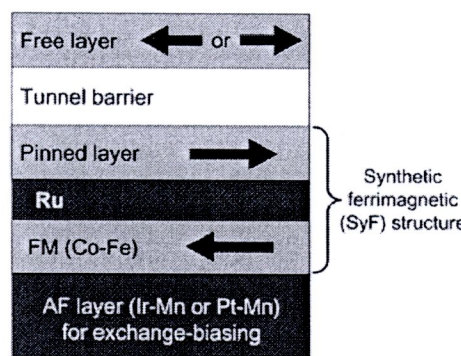
2.1) ส่วนหัวอ่านข้อมูล

2.1.1) ส่วนฐาน (Substrate) ส่วนนี้จะเป็นส่วนที่รองรับส่วนที่ใช้อ่านข้อมูล สร้าง จาก วัสดุไไฟฟานาโนเมตริก ใบดําและอลูминิัม มีคุณสมบัติ เป็นตัวนำไฟฟ้า

2.1.2) ส่วนป้องกันทางไฟฟ้า ทำหน้าที่เป็นชั้นจำนวนคั่นระหว่าง ส่วนอ่านข้อมูล และส่วนป้องกันทางแม่เหล็ก (ส่วนส่วนป้องกันด้านบน และส่วนส่วนป้องกันด้านล่าง) และคั่นระหว่างส่วนป้องกันด้านล่างกับชั้บสเตรท (Substrate) ในปัจจุบันจะใช้วัสดุประภพ SiO_2 มีคุณสมบัติเป็นจำนวนทางไฟฟ้า [44]

2.1.3) ส่วนส่วนป้องกันทางแม่เหล็ก ทำหน้าที่ป้องกันสนามแม่เหล็กจากภายนอก บิดข้อมูลข้างเดียว และทำหน้าที่เป็นส่วนข้อ (Terminal) เพื่อเชื่อมต่อสัญญาณจากส่วนอ่านข้อมูล ไปยังสายนำสัญญาณ [45] ซึ่งจะทำให้ขนาดของหัวอ่านมีขนาดเล็กลง สามารถอ่านจำนวนบิตได้มากขึ้น สร้างจากวัสดุประภพอัลลอย (Alloy, NiFe) ซึ่งมีคุณสมบัติเป็นตัวนำทางไฟฟ้า

2.1.4) ส่วนอ่านข้อมูล แผ่นฟิล์มบาง TMR โครงสร้างของแผ่นฟิล์มบาง TMR ที่ใช้ในการอ่านข้อมูล จะมีความซับซ้อนมากกว่า โครงสร้างพื้นฐานที่ประกอบไปด้วย ชั้ออิสระ จำนวน และ ชั้นบังคับ ก็ล่าวคือ ชั้นบังคับสำหรับแผ่นฟิล์มบางแม่เหล็กประภพ TMR ที่ใช้สำหรับการอ่านข้อมูลนั้น จะใช้ แผ่นฟิล์มแม่เหล็กเฟอร์ไรส์เมทัฟิก (Synthetic Ferrimagnetic : SyF) เป็นชั้นบังคับ โดยด้านล่างของ SyF จะเป็นชั้น Aniferromagnetic ซึ่งทำหน้าที่ บังคับให้ทิศทางแมกเนติซิชันของ SyF คงที่ ให้มากที่สุด [26] โครงสร้างของ SyF ประกอบไปด้วย ชั้นสารแม่เหล็ก ชั้นที่ไม่ใช่สารแม่เหล็ก (Non-magnetic ; NM) ที่ถูกประกอบโดยชั้นสารแม่เหล็ก ตัวอย่างเช่น CoFe-Ru-CoFeB



ภาพที่ 2.29 โครงสร้างของแผ่นฟิล์มบางประภพ TMR [36]

2.2) ส่วนต่อขนาด

ส่วนต่อขนาดจะประกอบไปด้วยสองส่วนด้วยกันคือ 1) ส่วนต่อขนาดที่ต่อจากส่วนป้องกันด้านบนและด้านล่าง ไปยังกราวด์ ซึ่งจะทำหน้าที่ลดการไหลของกระแส ที่กำลังไหลเข้าสู่แผ่นฟิล์มบางแม่เหล็กสำหรับอ่านข้อมูล และทำหน้าที่เสมือนเป็นตัวกรองสัญญาณรบกวนความถี่ต่ำ [56] ขนาดของความต้านทานที่ถูกต่อขนาดนั้น มีขนาดอยู่ในช่วง $1 \text{ k}\Omega - 100 \text{ k}\Omega$ [47] ขึ้นอยู่กับขนาดและความต้านทานของแผ่นฟิล์มบางแม่เหล็ก 2) ส่วนต่อขนาดที่ถูกต่อระหว่างส่วนป้องกันด้านบน และ ชีล์ดด้านล่าง ทำหน้าที่ลดผลของแรงดันคร่อมแผ่นฟิล์มบางแม่เหล็ก [58] โดยมีขนาดอยู่ในช่วง $0.1\text{k}\Omega - 5 \text{ k}\Omega$ [49] นอกจากนี้ส่วนต่อขนาดที่ถูกต่อเข้าระหว่าง ส่วนป้องกันด้านบน และ ส่วนป้องกันด้านล่าง ยังมีส่วนช่วยทำให้ความต้านทาน TMR สมมูล มีขนาดสูงขึ้น ทำให้สามารถได้แรงดันขาออกที่ต้องการได้โดยที่ไม่จำเป็นที่จะต้องไปทำการลดขนาดของ

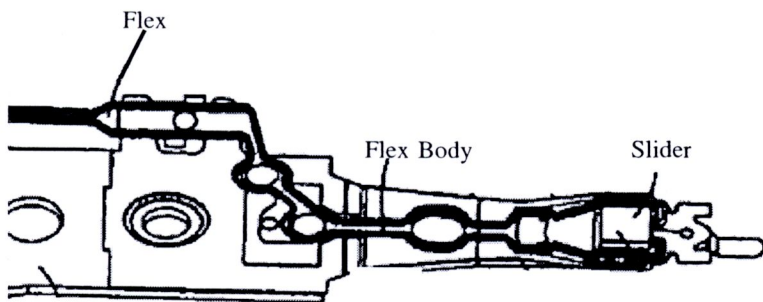
ชั้นจานวนให้บางลง [49] ทั้งนี้เนื่องจาก การที่จะออกแบบให้แผ่นฟิล์มบาง TMR มีความต้านทานที่สูงขึ้นนั้น จำเป็นที่จะต้องลดความบางของจานวน ซึ่งเมื่อนำมาใช้งาน อาจจะมีโอกาสเกิดความเสียหายได้ง่าย

2.6 เฮดกิมบอลแอกแซมบลี (Head Gimbal Assembly, HGA)

การเชื่อมต่อสัญญาณจากหัวบันทึกไปยังส่วนประกอบอื่นของฮาร์ดดิสก์ไดรฟ์จะอาศัยแผ่นนำสัญญาณแบบอ่อนตัว (Flex Cable) ที่สร้างจากแผ่นทองแดงและถูกหุ้มโดยฉนวนประเทกโพลีไมด์ (Polyimide) [49] เป็นสายนำสัญญาณ

แผ่นนำสัญญาณแบบอ่อนตัว เมื่อถูกประกอบเข้ากับแขนรอง (Suspension) ที่สร้างจากโลหะสแตนเลส (Stainless Steel) จะถูกเรียกว่า ฟอส (Flex on Suspension, FOS) ซึ่งมีอยู่หลายประเภท สำหรับ FOS ที่ใช้ในการทดลองเป็น FOS ประเทก แทรคซ์สเพนชั่นแอกแซมบลี (Trace Suspension Assembly, TSA) ซึ่งตลอดทั้งวิทยานิพนธ์ฉบับนี้จะเรียก สายนำสัญญาณอย่างอ่อนนี้ว่า FOS นอกจากนี้ เนื่องจากความต้านทานของแขนรองมีขนาดที่ต่ำมากจึงนิยมอนามัยให้แขนรองมีคุณสมบัติเป็น gravitational damping ซึ่งตลอดวิทยานิพนธ์ฉบับนี้จะเรียก แขนรองนี้ว่า gravard

หัวบันทึก และ ฟอส ที่ประกอบเข้าไว้ด้วยกันจะถูกเรียกว่า เฮดกิมบอลแอกแซมบลี หรือ เอชจีเอ (HGA) โดยที่สายนำสัญญาณนั้นจะถูกเชื่อมต่อเข้ากับชุดเขียน และชุดอ่านของหัวบันทึก



ภาพที่ 2.30 ส่วนประกอบของเฮดกิมบอลแอกแซมบลี [60]

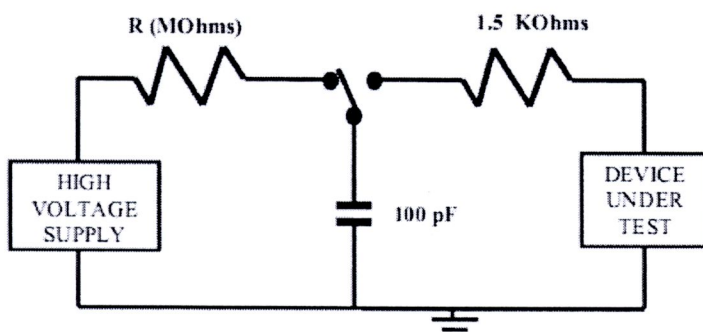
2.7 การคายประจุไฟฟ้าสถิต

การคายประจุไฟฟ้าสถิต (Electrostatic discharge, ESD) เป็นผลที่เกิดจาก การที่ประจุพื้นผิวของวัสดุที่มีศักย์สูง ถูกถ่ายเทไปยังวัสดุที่มีศักย์ต่ำอย่างรวดเร็ว การคายประจุไฟฟ้าสถิตนี้ สามารถเกิดขึ้นได้ในหลาย ๆ ลักษณะ แต่โดยทั่วไปแล้ว นิยมทำการศึกษาผล จากการคายประจุไฟฟ้าสถิต โดยอาศัยแบบจำลองหลัก 3 ประเทกด้วยกันคือ (1) แบบจำลองการคายประจุไฟฟ้าสถิตจากตัวมนุษย์ (Human Body Model, HBM) (2) แบบจำลองการคายประจุไฟฟ้าสถิตจากเครื่องจักรกล (Machine Model, MM) และ (3) แบบจำลองการคายประจุ ที่เกิดขึ้นในอุปกรณ์ทดสอบ (Charge Device Model, CDM)

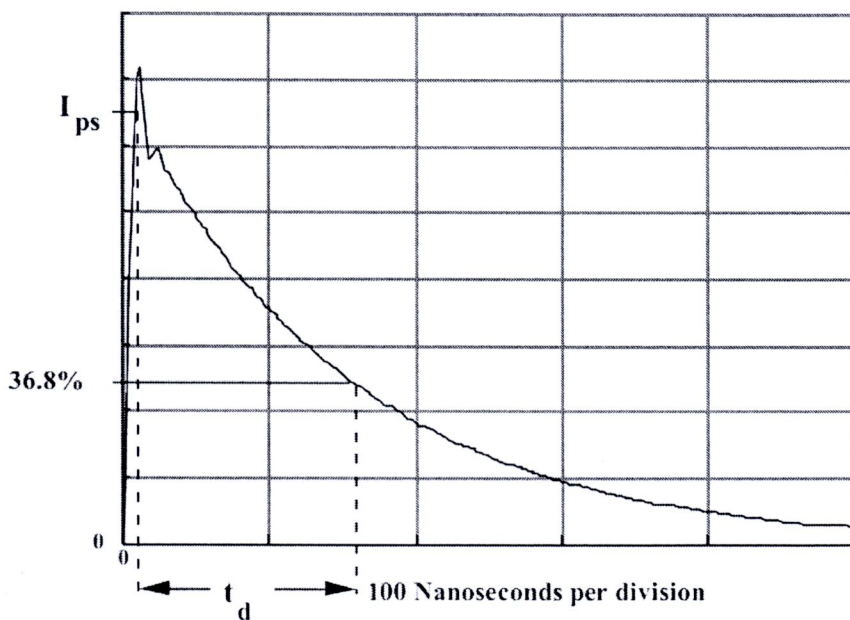
2.7.1 แบบจำลองการเกิดไฟฟ้าสถิตจากตัวมนุษย์ (Human Body Model, HBM)

เป็นการจำลองรูปสัญญาณของแรงดันที่เกิดจากการคายประจุไฟฟ้าสถิตจากผู้ปฏิบัติงานไปยังอุปกรณ์ทดสอบ โดยใช้ตัวเก็บประจุ (Capacitor) ต่ออนุกรมกับ ความต้านทาน (Resistance) โดยที่ ตัวเก็บประจุ แทนประจุที่ถูกสะสมอยู่ในตัวมนุษย์ และใช้ตัวต้านทานแทน เส้นทางการคายประจุจากมนุษย์ไปยัง

อุปกรณ์ทดสอบ โดยทั่วไป ขนาดตัวเก็บประจุ และความต้านทาน กำหนดโดยค่ามาตรฐาน ซึ่ง ค่ามาตรฐานที่กำหนดโดย ANSI/ESD STM5.1-2007 [61] และ JESD22-A114D [62] กำหนดให้ ขนาดตัวเก็บคือ 100 พิโคลฟาราด และค่าความต้านทานคือ 1,500 โอห์ม ซึ่งคุณสมบัติของรูปคลื่นหลักที่เกิดจากแบบจำลองมนุษย์คือ เวลาช่วงขาขึ้นของคลื่น(t_r) ($10\% - 90\%$ ของยอดคลื่น) มีค่าอยู่กว่า 10^{-9} วินาที และความยาวทางคลื่น (t_f) มีค่าประมาณ $(150 \pm 20) \times 10^{-9}$ วินาที รูปร่างของคลื่นวัดได้จากการวัดค่ากระแส (Current Probe) ซึ่งวงจรการทดสอบนั้นได้แสดงดังภาพที่ 2.31 และลักษณะรูปคลื่นที่เป็นไปตาม ANSI/ESD STM5.1-2007 ตามที่แสดงในภาพที่ 2.32



ภาพที่ 2.31 วงจรการทดสอบ HBM [63]

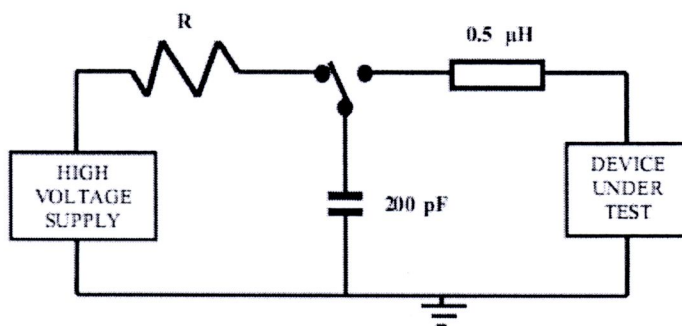


ภาพที่ 2.32 รูปคลื่นที่ได้จาก HBM ตาม มาตรฐาน ANSI/ESD STM5.1-2007 [61]



2.7.2 แบบจำลองการเกิดไฟฟ้าสถิตในเครื่องจักรกล (Machine Model, MM)

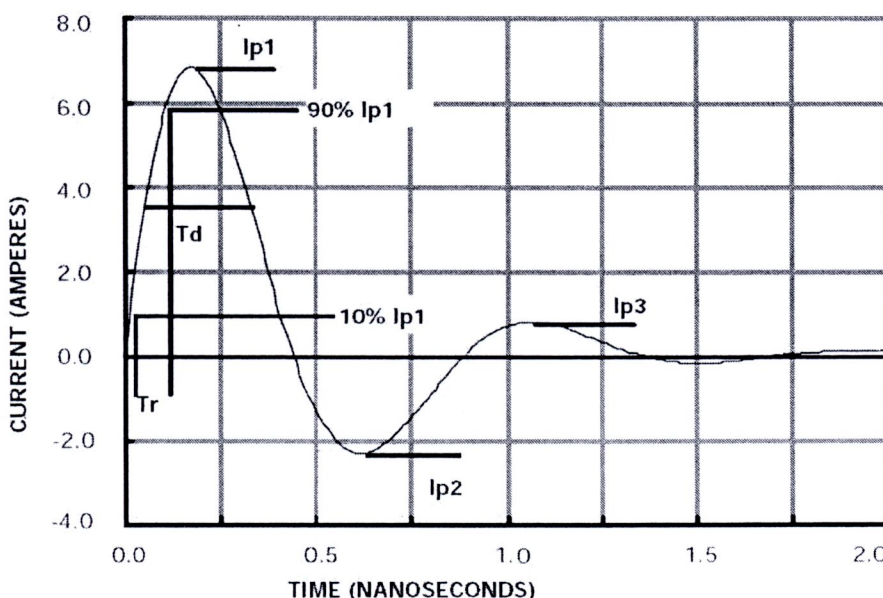
เป็นการทดสอบการคายประจุ จากเครื่องจักรกลไปยังอุปกรณ์ ทดสอบ โดยใช้ โดยใช้ ตัวเก็บประจุ (Capacitor) ต่ออนุกรมกับ ตัวเหนี่ยวนำ (Inductor) ดังภาพที่ 2.33 โดยที่ตัวเก็บประจุ แทนประจุที่ถูกสะสมอยู่ในตัวเครื่องจักรหรือเครื่องจักรอัตโนมัติ และใช้ตัวเหนี่ยวนำแทนเส้นทางการคายประจุจากเครื่องจักรไปยังอุปกรณ์ทดสอบ โดยทั่วไปค่ามาตรฐาน ขนาดตัวเก็บ และค่าความเหนี่ยวนำ กำหนดโดยค่ามาตรฐาน ซึ่ง ค่ามาตรฐานที่กำหนดโดย ESD-STM 5.2-1999 [54] โดย กำหนดให้ ขนาดตัวเก็บประจุคือ 200 พิโคฟาราด และค่าความเหนี่ยวนำคือ 500 นาโนเฮนรี



ภาพที่ 2.33 วงจรการทดสอบ MM [63]

2.7.3 แบบจำลองการเกิดไฟฟ้าสถิตในอุปกรณ์ (Charged Device Model, CDM)

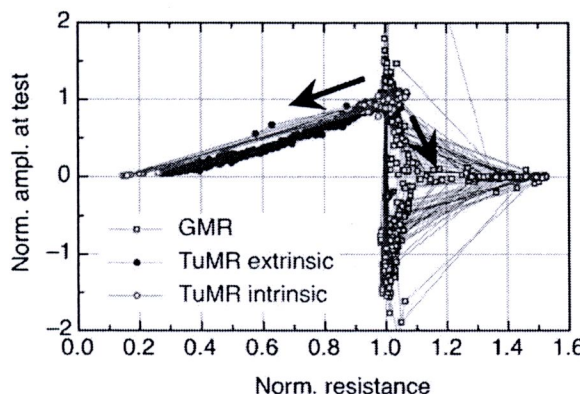
เป็นการทดสอบในกรณีที่อุปกรณ์มีประจุภายในตัวเองแล้วเกิดการคายประจุสู่ภายนอก ซึ่งอาจจะเกิดขึ้นจากหลายสาเหตุ เช่น เกิดจากการเสียดสีระหว่างขาตัวนำและตัวถังของ IC หรือ เกิดจากขบวนการเหนี่ยวนำประจุโดยอาศัยสนามไฟฟ้า ซึ่งกระแสที่เกิดจากการคายประจุ โดย CDM นี้ จะมีช่วงเวลาขาขึ้นของสัญญาณที่เร็วมาก คือ น้อยกว่า 200×10^{-15} วินาที ตามที่แสดงในภาพที่ 2.34



ภาพที่ 2.34 รูปคลื่นกระแสที่ได้จากการทดสอบ ESD ในระบบการวัดขนาด 3.5 GHz [65]

2.8 ผลจากการคายประจุไฟฟ้าสถิตที่มีต่อหัวอ่าน TMR

ผลจากการคายประจุที่มีต่อหัวบันทึกประเภท TMR นั้นยังคงไม่มีความชัดเจนในหลาย ๆ ประเด็น ซึ่งผลที่เกิดจากการคายประจุไฟฟ้าสถิตนั้น โดยปกติแล้ว จะมีผลทำให้ความต้านทานของหัวบันทึกมีขนาดลดลง ซึ่งต่างจาก ผลจากการคายประจุที่มีต่อหัวอ่านแบบเก่า คือ การอ่านข้อมูลโดยอาศัย แผ่นฟิล์มบาง GMR ซึ่งการคายประจุจะมีผลทำให้ ความต้านทานเพิ่มขึ้น คุณลักษณะของการหะลายที่เกิดขึ้นใน หัวอ่านข้อมูล TMR จะมีลักษณะเหมือนกับการหะลายที่เกิดขึ้นในแผ่นฟิล์ม บาง TMR แต่ บางครั้งอาจจะเรียก ความเสียหายอย่างหนักว่า การหะลายแบบอินทรินซิก (Intrinsic Breakdown) และเรียกความเสียหายแบบเบาว่า การหะลายแบบเอ็กทรินซิก (Extrinsic) ดังภาพที่ 2.35

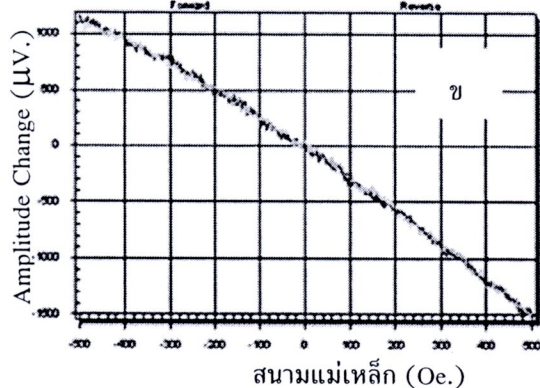
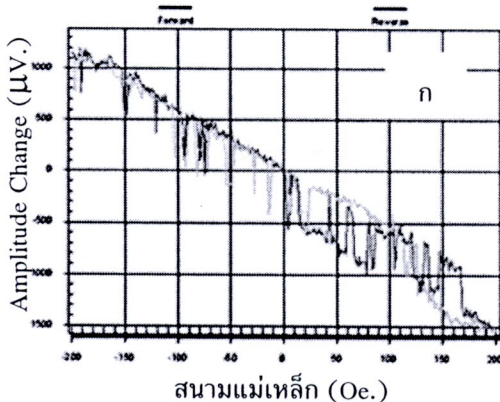


ภาพที่ 2.35 การเปลี่ยนแปลงความต้านทานของหัวบันทึกชนิด TMR และ GMR ที่เกิดจากการคายประจุไฟฟ้าสถิต [66]

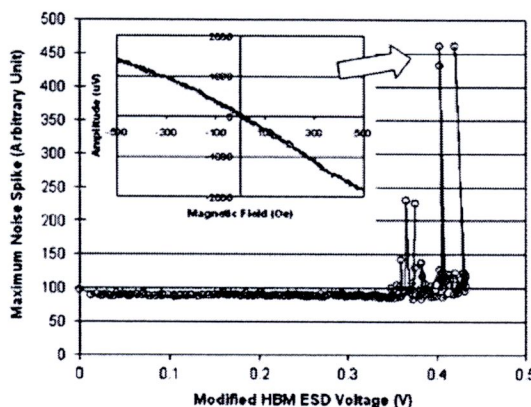
การศึกษาผลจากการคายประจุที่มีต่อหัวอ่าน TMR ก่อนหน้านี้ จะเป็นการศึกษาถึงผลของการคายประจุที่มีต่อความไม่เสถียรของการอ่านข้อมูลเป็นสำคัญ โดยในปี คศ. 2006 Feng Liu และ คณะ [57] ทำการศึกษาผลของการคายประจุไฟฟ้าสถิตที่ส่งผลทำให้หัวอ่านเกิดความไม่เสถียรในการอ่านข้อมูล โดยอาศัยแบบจำลองแบบ HBM ซึ่งพบว่า ที่ระดับแรงดันการคายประจุที่ทำให้เกิดสัญญาณรบกวนความถี่ต่ำ (อยู่ในช่วงไม่ถึง kHz) เส้นโค้งทรายเฟอร์จะมีการเปลี่ยนแปลง เป็นเส้นแบบเปิด (Open Loop) โดยที่ทั้งจากการจ่ายสนามแม่เหล็กไปหน้าและย้อนกลับนั้น จะสามารถเห็นได้ว่า มีการกระโดดของเส้นโค้งทรายเฟอร์ ซึ่งเป็นลักษณะของการเกิดสัญญาณรบกวนแบบ Random Telegraph แต่เมื่อทำการจ่ายสนามแม่เหล็กขนาด 9 kOe. ให้กับชั้นแม่เหล็กการณ์นั้น จะพบว่าเส้นโค้งทรายเฟอร์มีลักษณะที่ค่อนข้างเรียบ แต่ยังมีความชรุรุระอยู่บ้าง ตามที่แสดงในภาพที่ 2.36

ในส่วนของการศึกษาผลของการคายประจุที่ทำให้เกิดสัญญาณรบกวนย่านความถี่สูง (มากกว่า 100 MHz) จากภาพที่ 2.37 จะเห็นว่า ที่แรงดันประมาณ 0.35 V นั้น Maximum Noise Spike เริ่มมีการเปลี่ยนแปลง และมีค่าสูงมากที่แรงดันมากกว่า 0.4 V แต่เมื่อทำการพิจารณา เส้นโค้งทรายเฟอร์กลับพบว่า เส้นโค้งทรายเฟอร์มีลักษณะที่ค่อนข้างจะปกติ ซึ่งแสดงให้เห็นว่า การเกิดสัญญาณรบกวน จากการคายประจุไฟฟ้าสถิตนั้น อาจจะไม่ได้เป็นผลที่เกิดจากการเปลี่ยนแปลงคุณสมบัติของชั้นสารแม่เหล็ก และเมื่อทำการวัด การเปลี่ยนแปลงขนาดของความต้านทาน อันเนื่องมาจากการคายประจุ ตามที่แสดงในภาพที่ 2.38 พนวณขนาดของความต้านทานเริ่มมีการเปลี่ยนแปลงที่ขนาดแรงดันมากกว่า 0.3 V และมีการเปลี่ยนแปลงมากกว่า 7% ที่ขนาดแรงดันประมาณ 0.4 V นอกเหนือนี้ยังสามารถสังเกตเห็นได้ว่า ที่ขนาดแรงดันระหว่าง 0.3-0.4 V มีการแกว่งของการเปลี่ยนแปลงขนาดความต้านทาน ซึ่งผู้ทำวิจัยเชื่อว่า เป็นผลที่เกิดจากการเริ่มเกิดการเคลื่อนที่ของอ็อกไซด์ ภายในชั้นจนวน หรือ การเริ่มเกิดพินไฮล์ ซึ่งในงานวิจัยของ Fang Liu ไม่ได้ให้ความชัดเจน เกี่ยวกับสาเหตุที่ทำให้ ความต้านทานของหัวอ่านเกิดการแกว่ง อย่างไรก็ตาม จากการวิจัยชั้นนี้ทำให้ทราบว่า

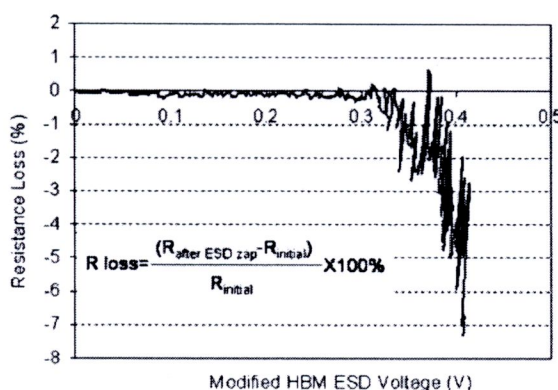
ปัจจัยสำคัญที่ทำให้หัวอ่านข้อมูลเริ่มเกิดความเสียหาย เป็นผลที่เกิดจากการเปลี่ยนแปลงในชั้นจำนวน และ ไม่มีผลที่เกิดจากการเปลี่ยนแปลงคุณสมบัติทางแม่เหล็กของสาร



ภาพที่ 2.36 เส้นโค้งทรานส์เฟอร์ของหัวบันทึกที่เกิดความเสียหายจากการคายประจุไฟฟ้าสถิต [67]
 (ก) ก่อนจ่ายสนามแม่เหล็กให้กับชั้นแม่เหล็กถาวร
 (ข) หลังจ่ายสนามแม่เหล็กให้กับชั้นแม่เหล็กถาวร



ภาพที่ 2.37 ผลของแรงดันจากแบบจำลอง HBM ที่มีต่อการเปลี่ยนแปลงขนาดของ Maximum Noise Spike ภาพแทรกแสดงเส้นโค้งทรานส์เฟอร์ ที่แรงดันการคายประจุประมาณ 0.4 V [67]



ภาพที่ 2.38 ผลของแรงดันจากแบบจำลอง HBM ที่มีต่อการเปลี่ยนแปลงค่าความต้านทาน [67]